

Katapult za dronove

Banožić, Ivan

Undergraduate thesis / Završni rad

2025

*Degree Grantor / Ustanova koja je dodijelila akademski / stručni stupanj: **University of Zagreb, Faculty of Mechanical Engineering and Naval Architecture / Sveučilište u Zagrebu, Fakultet strojarstva i brodogradnje***

Permanent link / Trajna poveznica: <https://urn.nsk.hr/urn:nbn:hr:235:358694>

Rights / Prava: [In copyright/Zaštićeno autorskim pravom.](#)

*Download date / Datum preuzimanja: **2025-03-29***

Repository / Repozitorij:

[Repository of Faculty of Mechanical Engineering and Naval Architecture University of Zagreb](#)



SVEUČILIŠTE U ZAGREBU
FAKULTET STROJARSTVA I BRODOGRADNJE

ZAVRŠNI RAD

Ivan Banožić

Zagreb, 2025.

SVEUČILIŠTE U ZAGREBU
FAKULTET STROJARSTVA I BRODOGRADNJE

ZAVRŠNI RAD

Mentori:

Dr. sc. Matija Hoić, dipl. ing.

Student:

Ivan Banožić

Zagreb, 2025. godina.

Izjavljujem da sam ovaj rad izradio samostalno koristeći znanja stečena tijekom studija i navedenu literaturu.

Zahvaljujem se mentoru Doc. dr. sc. Matiji Hoiću na savjetima tijekom izrade Završnog rada.

Također, želio bih se zahvaliti i svojoj obitelji na potpori i pomoći koju sam imao tokom studija.

Ivan Banožić



SVEUČILIŠTE U ZAGREBU
FAKULTET STROJARSTVA I BRODOGRADNJE

Središnje povjerenstvo za završne i diplomske ispite

Povjerenstvo za završne i diplomske ispite studija strojarstva za smjerove:
Procesno-energetski, konstrukcijski, inženjersko modeliranje i računalne simulacije i brodostrojarski



Sveučilište u Zagrebu	
Fakultet strojarstva i brodogradnje	
Datum	Prilog
Klasa: 602 - 04 / 25 - 06 / 1	
Ur.broj: 15 - 25 -	

ZAVRŠNI ZADATAK

Student: Ivan Banožić

JMBAG: 0035230291

Naslov rada na hrvatskom jeziku: Katapult za dronove

Naslov rada na engleskom jeziku: Catapult drone launcher

Opis zadatka:

Potrebno je konstruirati katapult za lansiranje dronova koji uobičajeno polijeću s uređene piste. Katapult treba biti primjeren za ugradnju na motorno vozilo ili prikolicu motornog vozila.

Ciljano konstrukcijsko rješenje mora imati sljedeće karakteristike:

- 1) Najveća masa pri polijetanju: $Q = 250 \text{ kg}$,
- 2) Brzina u trenutku napuštanja katapulta: $v = 20 \text{ m/s}$,
- 3) Najveće dopušteno ubrzanje pri polijetanju: $a = 10 \text{ m/s}^2$.

Rad treba sadržavati:

- 1) Uvodno razmatranje o katapultima za dronove,
- 2) Analizu radnih principa postojećih konstrukcijskih rješenja,
- 3) Nekoliko konceptualnih rješenja,
- 4) Izbor najpogodnijeg koncepta za zadane projektne zahtjeve,
- 5) Proračun i oblikovanje pogonskog sustava,
- 6) Proračun i oblikovanje nosive konstrukcije,
- 7) Sklopni crtež s potrebnim presjecima i detaljima.

U radu je potrebno navesti korištenu literaturu i eventualno dobivenu pomoć.

Zadatak zadan:

30. 11. 2024.

Datum predaje rada:

1. rok: 20. i 21. 2. 2025.
2. rok: 10. i 11. 7. 2025.
3. rok: 18. i 19. 9. 2025.

Predviđeni datumi obrane:

1. rok: 24. 2. – 28. 2. 2025.
2. rok: 15. 7. – 18. 7. 2025
3. rok: 22. 9. – 26. 9. 2025.

Zadatak zadao:

Izv. prof. dr. sc. Matija Hoić

Prof. dr. sc. Vladimir Soldo

Sadržaj

1.	UVOD - dron	1
2.	OPĆI PREGLED KATAPULTA	5
2.1.	Katapult za dronove	5
2.2.	Pregled patenta	6
2.2.1.	Patent 1: US11679896B2	6
2.2.2.	Patent 2: US10486830B2	6
3.	PREGLED POSTOJEĆIH RJEŠENJA.....	8
3.1.	Postojeća rješenja za slične operativne parametre	8
3.1.1.	Bungee UAV Launching System SCL-1A.....	8
3.1.2.	UAV Pneumatic Catapult Launching System BJCY-10.....	9
3.1.3.	Electromagnetic Aircraft Launch System	10
4.	KONCEPCIJSKA RJEŠENJA	12
4.1.	Koncepti	12
4.1.1.	Koncept 1	12
4.1.2.	Koncept 2	13
4.1.3.	Koncept 3	14
4.2.	Vrednovanje i odabir koncepta.....	16
5.	UVODNI DIO PRORAČUNA.....	17
6.	PRORAČUN POGONSKOG SUSTAVA	18
6.1.	Odabir opruge [2]	18
6.2.	Odabir užeta[6]	19
6.3.	Dimenzioniranje bubenja [6].	20
6.3.1.	Određivanje promjera bubenja (D):.....	20
6.3.2.	Dimenzije profila žljebova bubenja:	21
6.3.3.	Dimenzije utora za vođenje užeta:	21
6.3.4.	Proračun stijenke bubenja:	22
6.3.5.	Veza užeta s bubenjem.....	24
6.3.6.	Dimenzioniranje osovine bubenja	25
6.4.	Odabir ležaja bubenja [7]:.....	27
6.5.	Odabir elektromotora s kočnicom	29
6.6.	Proračun vijčanog spoja između potporne konstrukcije bubenja i platforme za lansiranje	31
6.7.	Proračun okidača	32
6.7.1.	Određivanje sila dodira za dio 1	33
6.7.2.	Određivanje sila dodira za dio 2	34
6.7.3.	Određivanje sila dodira za dio 3	35
6.7.4.	Provjera čvrstoće opruge [2]	35
6.8.	Mehanički odbojnici	36
6.9.	Čeona ploča opruge	37
6.10.	Provjera zavara između vilice i čeone ploče	39
6.11.	Kolica	40
6.11.1.	Provjera čvrstoće vilice kolica.....	40
6.11.2.	Provjera poprečno opterećenih vijaka vilice i kolica	41
6.11.3.	Provjera čvrstoće svornjaka na spoju okidača i vilice kolica	43

7.	PRORAČUN NOSIVE KONSTRUKCIJE	45
7.1.	Platforma za lansiranje dronova	45
7.1.1.	Provjera čvrstoće platforme za lansiranje	46
7.1.2.	Provjera krutosti platforme [9]	48
7.1.3.	Provjera zavara	49
7.2.	Zglobni spoj platforme i nosača osovine	53
7.2.1.	Osovina.....	54
7.3.	Dimenzioniranje šarke	55
7.4.	Hidraulički cilindar	56
7.4.1.	Zavar postolja i nosača osovine	58
7.4.2.	Provjera svornjaka hidrauličkog cilindra i nosača	60
7.5.	Potporna greda za okidač	62
7.5.1.	Provjera čvrstoće potporne grede	62
7.5.2.	Provjera zavara	64
7.5.3.	Proračun vijčanog spoja okidača	66
8.	ZAKLJUČAK.....	68

POPIS SLIKA

Slika 1. MQ-9 Reaper	2
Slika 2. MQ-28 Ghost Bat	3
Slika 3. Skywalker X8	3
Slika 4. VAPOR 55	3
Slika 5. Patent 1	6
Slika 6. Patent 2	7
Slika 7. Katapult s elastičnim pojasevima	9
Slika 8. Katapult s pneumatskim sustavom	10
Slika 9. Elektromagnetski sustav za lansiranje	11
Slika 10. Koncept 1	12
Slika 11. Koncept 2	14
Slika 12. Koncept 3	15
Slika 13. Pramena čelična užad	20
Slika 14. Osnovne dimenzije žljeba	22
Slika 15. a) Naprezanje elemenata stijenke bubenja, b) Lokalno savijanje ljske bubenja od jednog navoja užeta	23
Slika 16. Veza užeta s bubenjem	24
Slika 17. Prikaz kritičnih presjeka osovine bubenja	25
Slika 18. Ležaj 22206 E	28
Slika 19. Karakteristike ležaja 22206 E	28
Slika 20. Shema motora za povlačenje	30
Slika 21. Vijčani spoj sklopa bubenja i platforme za lansiranje	31
Slika 22. Dijelovi okidača	33
Slika 23. Prvi dio okidača	33
Slika 24. Drugi dio okidača	34
Slika 25. Treći dio okidača	35
Slika 26. Opterećenje čeone ploče	37
Slika 27. Opterećenje čeone ploče	38
Slika 28. Vilica zavarena na čeonu ploču	39
Slika 29. Opterećenje zavara	39
Slika 30. Opterećenje vilice kolica	40
Slika 31. Vlačno naprezanje vilice	41
Slika 32. Spoj okidača i vilice kolica - opterećenja	43
Slika 33. Statičke sile	45
Slika 34. Dijagram poprečnih sila i momenata savijanja	46
Slika 35. Dimenzije poprečnog presjeka platforme	47
Slika 36. Opterećenje na platformu – progib	48
Slika 37. Dimenzije poprečnog presjeka platforme	48
Slika 38. Zavar platforme i ploče	50
Slika 39. Skica opterećenja	50
Slika 40. Proračunski presjek zavara	51
Slika 41. Skica opterećenja zavara	52
Slika 42. Proračunski presjek zavara	52
Slika 43. Zglobni spoj	54
Slika 44. Opterećenje na osovini	54
Slika 45. Model šarke	55
Slika 46. Opterećenje na šarku	56
Slika 47. Hidraulički cilindar	57

Slika 48. Ovisnost sile u cilindru o kutu između cilindra i platforme	58
Slika 49. Zavar postolja i nosača svornjaka	58
Slika 50. Proračunski presjek zavara	59
Slika 51. Opterećenje nosača svornjaka	59
Slika 52. Opterećenje svornjaka	61
Slika 53. Opterećenje potporne grede	63
Slika 54. Skica opterećenja na zavar	64
Slika 55. Proračunski presjek zavara	65
Slika 56. Vijčani spoj okidača i potpornog nosača	66

POPIS TABLICA

Tablica 1. Vrednovanje i odabir koncepta	16
Tablica 2. . Dimenzija profila žljeba r2 u ovisnosti o promjeru užeta	22
Tablica 3. Karakteristike elektromotora	30
Tablica 4. Oznake i svojstva čvrstoće čelika za vijke i matice prema DIN 267 [2]	32
Tablica 5. Karakteristike mehaničkog odbojnika ACE MA 4575	36
Tablica 4. Oznake i svojstva čvrstoće čelika za vijke i matice prema DIN 267 [2]	42
Tablica 6. Mehanička svojstva S355	46
Tablica 7. Karakteristike hidrauličkog cilindra.....	57

POPIS TEHNIČKE DOKUMENTACIJE

00-00-00 Katapult za dronove

00-00-01 Sklop – bubanj

00-00-02 Sklop – okidač

00-00-03 Sklop – kolica

POPIS OZNAKA

Oznaka	Jedinica	Opis
A	mm^2	Površina presjeka
A_{zav}	mm^2	Površina presjeka zavara
A_{klip}	mm^2	Površina presjeka cilindra
F_A	N	Reakcija u osloncu A
F_B	N	Reakcija u osloncu B
E	MPa	Modul elastičnosti
F_{cil}	N	Sila u hidrauličkom cilindru
d	mm	Promjer osovine
d_k	mm	Promjer klipnjače
D	mm	Promjer cilindra
g	m/s^2	Ubrzanje zemljine sile teže
I	mm^4	Aksijalni moment tromost
W	mm^3	Aksijalni moment otpora
p	bar	Tlak u cilindru
R_e	N/mm^2	Granica tečenja
R_m	N/mm^2	Vlačna čvrstoća
S	-	Faktor sigurnosti
t	mm	Debljina lima
M_z	Nmm	Moment oko osi z
φ	°	Kut zakreta poluge
σ_f	N/mm^2	Naprezanje na savijanje
$\sigma_{f,dop}$	N/mm^2	Dopušteno naprezanje na savijanje
σ_{red}	N/mm^2	Reducirano naprezanje
τ_{dop}	N/mm^2	Dopušteno smično naprezanje
Δr	mm	Hod cilindra
a	m/s^2	Ubrzanje kolica
Q	kg	Najveća masa pri lansiranju
d_{opr}	mm	Promjer žice opruge
D_{sr}	mm	Srednji promjer opruge
c	N/m	Krutost opruge
i_f	-	Broj navoja s opružnim djelovanjem
F_r	N	Računska lomna sila
f	-	Faktor ispune užeta
s	mm	Debljina stijenke bubenja
l_b	mm	Ukupna duljina bubenja
σ_f	N/mm^2	Cirkularno naprezanje

SAŽETAK

Tema ovog završnog rada je konstrukcijska razrada katapulta za dronove. Potrebno je konstruirati katapult za lansiranje dronova koji uobičajeno polijeću s piste te katapult treba biti primjeren za ugradnju na motorno vozilo ili prikolicu motornog vozila. Zadani su projektni parametri: najveća masa pri polijetanju ($Q = 250 \text{ kg}$), brzina u trenutku napuštanja katapulta ($v = 20 \text{ m/s}$) i najveće dopušteno ubrzanje pri polijetanju ($a = 10 \text{ m/s}^2$).

U uvodnom dijelu rada navedeno je osnovno o dronovima, vrste dronova i primjeri dronova, zatim su navedena i objašnjena postojeća konstrukcijska rješenja. Nadalje su skicirana i objašnjena tri koncepta koja su uspoređena prema zadanim kriterijima i odabran je koncept koji je detaljnije razvijen. Odabrani koncept je koncept kojemu za lansiranje služi vlačna opruga.

U drugom dijelu rada napravljen je kompletan proračun za katapult i na kraju je izrađen 3D model katapulta i pripadajuća tehnička dokumentacija.

Ključne riječi: katapult, opruga, bubanj, sajla, elektromotor, okidač

SUMMARY

The topic of this final thesis is the structural design of a drone catapult. The task is to design a catapult for launching drones that typically take off from a runway. The catapult should be suitable for installation on a motor vehicle or a trailer. The given project parameters include the maximum takeoff weight ($Q = 250 \text{ kg}$), the velocity at the moment of leaving the catapult ($v = 20 \text{ m/s}$), and the maximum allowable acceleration during takeoff ($a = 10 \text{ m/s}^2$).

The introductory part of the thesis provides fundamental information about drones, types of drones, and examples of drones. It also presents and explains existing structural solutions. Furthermore, three concepts are sketched and explained, compared based on predefined criteria, and a selected concept is developed in more detail. The chosen concept utilizes a tension spring for launching.

The second part of the thesis includes a complete calculation for the catapult, and finally, a 3D model of the catapult and the corresponding technical documentation are created.

Keywords: catapult, spring, drum, cable, electric motor, trigger.

1. UVOD - dron

Dronovi, poznati i kao bespilotne letjelice, su letjelice kojima se upravlja bez prisustva pilota na samoj letjelici. Mogu se kontrolirati daljinski putem radija ili satelita, ili mogu letjeti autonomno koristeći unaprijed programirane rute ili senzore. Dronovi se koriste za: vojne operacije, poljoprivredu, dostave, fotografije i video, hitne situacije. Tehnologija dronova brzo napreduje, danas postoje mali hobij dronovi do velikih komercijalnih i vojnih letjelica. Prvi dronovi korišteni su u Prvom svjetskom ratu za izviđanje i prikupljanje informacija. S vremenom dronovi se sve više razvijaju te su danas široko prisutni u svim sektorima, od industrije do zabave i umjetnosti.

Prema veličini, dronovi se dijele u četiri glavne skupine:

Nano i mikro dronovi (20 cm - 50 cm)

- Težina - do 10 kg.
- Vrijeme leta - oko 60 minuta.
- Maksimalna visina dizanja - do 1 km.

Nano i mikro dronovi su mali i upravljivi i mogu se koristiti čak i u zatvorenom prostoru.

Uglavnom ih koristi vojska – služe za špijunažu. Prednosti za ovu kategoriju su cijena i činjenica da su pogodni za obuku pilota. Nedostaci su mala snaga, jak utjecaj vremenskih uvjeta i kratko vrijeme leta.

Mini dronovi (50 cm - 2 m)

- Težina - između 10 i 50 kg.
- Vrijeme leta - oko 2-3 sata
- Maksimalna nadmorska visina - 3-5 km.

Mini dronovi su najpopularniji. Odlikuju se niskom cijenom i dobri tehničkim karakteristikama. Mogu se koristiti za profesionalni rad i istraživanja. Lakši uređaji ovog tipa (oko 10 kg.) nisu regulirani, ali ako koristite teže (između 15 i 20 kg.), trebat će vam odgovarajuće dozvole.

Srednji dronovi (2 - 10 m.)

- Težina - do 1 tone
- Vrijeme leta - 10 - 12 sati

- Maksimalna nadmorska visina - 9 - 10 km.

Srednji dronovi su manji i lakši od aviona i mogu nositi oko 200 kg. nosivost, stoga nalaze primjenu u vojsci, koriste se uglavnom za prijevoz robe na udaljena mjesta. Imaju snažne motore. Za upravljanje takvima dronovima potrebne su dozvole i posebna obuka.

Teški dronovi (preko 10 m)

- Težina - oko 1 tona
- Vrijeme leta - do 1 dan
- Maksimalna nadmorska visina - 20 km.

Veliki (teški) dronovi su veličine malog aviona. Koriste se u vojnim misijama, šalju se u područja visokog rizika umjesto borbenih zrakoplova. Opremljeni su oružnim i fotografskim sustavima, pa se mogu koristiti za zračno osmatranje velikih područja ili za taktička djelovanja.

Prema osobitostima upravljanja, dronovi se dijele na:

- Bespilotne letjelice na daljinsko upravljanje - općenito, ovi uređaji imaju kraće vrijeme leta i kraće udaljenosti leta
- Dronovi kontrolirani putem računala - ovi modeli se koriste za misije, vrijeme leta je duže od dronova kojima se upravlja daljinskim upravljačem i njihova je udaljenost leta veća

Primjeri dronova:



Slika 1. MQ-9 Reaper



Slika 2. MQ-28 Ghost Bat



Slika 3. Skywalker X8



Slika 4. VAPOR 55

U završnom radu bit će prikazan razvoj katapulta za dronove koji omogućuju izbacivanje dronova u područjima gdje nema dovoljno prostora za polijetanje.

U okviru rada bit će dan opći pregled katapulta, pregled postojećih rješenja, općenito o dronovima, konceptualna rješenja, te odabir konačnog koncepta, proračun pogonskog sustava i proračun nosive konstrukcije te na kraju crtež s potrebnim presjecima i detaljima.

2. OPĆI PREGLED KATAPULTA

Katapult je naziv za ratni stroj koji se koristi za lansiranje ili izbacivanje objekata na velike udaljenosti. Njegova je osnovna funkcija pretvaranje potencijalne u kinetičku energiju. Katapult funkcioniра по principu pohranjivanja energije у облику напетих уžadi и opruga која се затим брзо ослобађа како би испалила пројектил. Данас се katapult користи за лансирање авиона с носача авиона и катапуљти за дронове, где се модерни механички, пневматски и електромагнетски системи примјенjuju како би убрзали дрон и омогућили му да добије довољну брzinu за полетање без потребе за дугом pistom.

2.1. Katapult za dronove

Уређаји који се користе за лансирање дронова у зрак с одређеном брзином и прецизношћу, без потребе за pistom или да дрон користи властите моторе за узлет. Споменути системи користе се посебно када дронови требају поletjeti s mesta gdje nema dovoljno prostora за standardno uzljetanje, као што су бродови, платформе или друге ограничено površine.

Najчešće коришћене технологије у катапултима за дронове су:

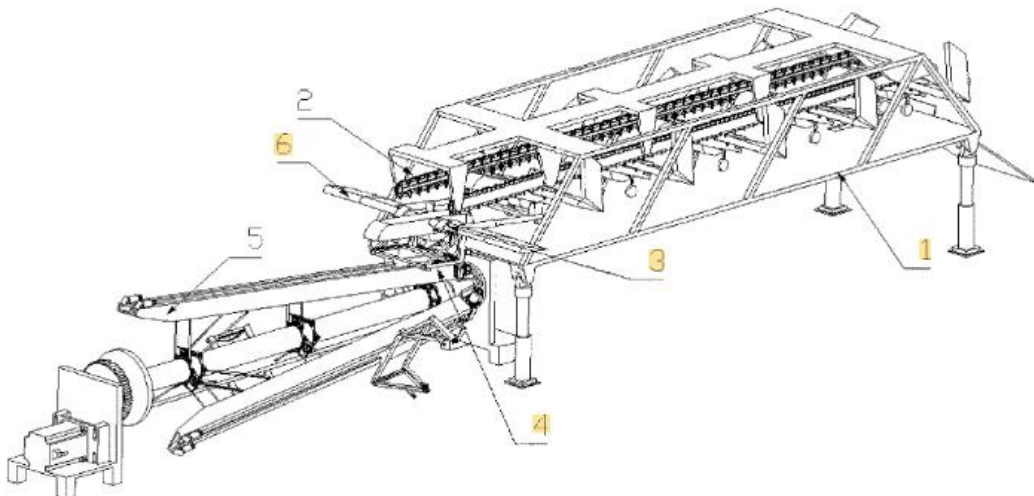
- **Pneumatski sustavi:** Ovi системи користе стlačeni zrak kako би избацили дрон. Пневматски катапуљти су тиhi, прециzni i mogu izbaciti дronove velikom брзином. Користе се uglavnom za vojnu upotrebu. Сustav obično функционира на начин да се zrak komprimira, затим се дрон поставља на платформу катапулта која се повезује с пневматским системом te kada je izbacivanje spremno, ventil se otvara te se дрон избације s određenom брзином. Предности система су: efikasno lansiranje s male površine, brzo i često lansiranje дronova, nema потребе за мотором prilikom lansiranja, прикладно за različita okruženja.
- **Elastične trake:** Користе се за стварање напетости, која се потом ослобађа како би се дрон избacio u zrak. Elastične se trake rastežu kako би пohranile потенцијалну energiju. Дрон се поставља на платформу катапулта te kada su trake dovoljno zategnute dolazi до izbacivanja дrona s određenom брзином. Предности система су: jednostavnost, prenosivost, smanjena потрошња energije дrona, prilagodljivost.
- **Opružni sustavi:** Катапуљти за дронове с опруžним системом користе енергију опруге за лансирање беспилотних летјелица, омогућујући им брзи почетни узлет без потребе за дугом pistom. Ови системи су посебно корисни у ограниченим просторима или на теренима где

tradicionalno polijetanje nije moguće. Prednosti katapulta s oprugom su: kompaktnost i prenosivost, brza priprema (idealno za situaciju na terenu), neovisnost o vanjskim izvorima energije (nije bitno gdje se nalazi katapult, uvijek se može lansirati dron).

2.2. Pregled patenta

2.2.1. Patent 1: US11679896B2

Patent je prijavljen 30.11.2018. godine. Ovaj se patent sastoji od uređaja za skladištenje dronova, za prijenos, za punjenje i za lansiranje dronova. Povećava efikasnost katapultiranja dronova i pogodan je za formiranje grupe dronova. Za katapultiranje koristi se sustav s elastičnim trakama jer tako mogu biti brzo i efikasno ubaćeni u borbeno okruženje te su pogodni za prikrivenost. Uređaj se sastoji od skladišnog uređaja za bespilotne letjelice (1), uređaja za transport bespilotnih letjelica (2), automatskog uređaja za utovar bespilotnih letjelica (3), prihvavnika (4) i rotacijske cijevne staze za katapultiranje(5).



Slika 5. Patent 1

2.2.2. Patent 2: US10486830B2

Patent je prijavljen 25.08.2016. godine. Ovaj patent prikazuje uređaj za lansiranje dronova. Uređaj ima dron koji je pohranjen unutar lansirne cijevi. Lansirna cijev ima kvadratni, tubularni oblik koji služi i kao transportna kutija i kao lansirna šina, omogućujući siguran transport UAV-a uz zaštitu od oštećenja. Kao sustav za lansiranje koristi pneumatski sustav koji omogućuje kontrolirano i snažno ubrzavanje dronova tijekom lansiranja. Lansirna cijev sadrži i mehanizam

za odvajanje koji omogućuje odvajanje drona od sustava za lansiranje. Ovaj sustav nudi praktično rješenje za brzo lansiranje i povrat UAV-ova u terenskim uvjetima s naglaskom na sigurnost korisnika kroz ugrađene sigurnosne mehanizme koji sprječavaju slučajno lansiranje.

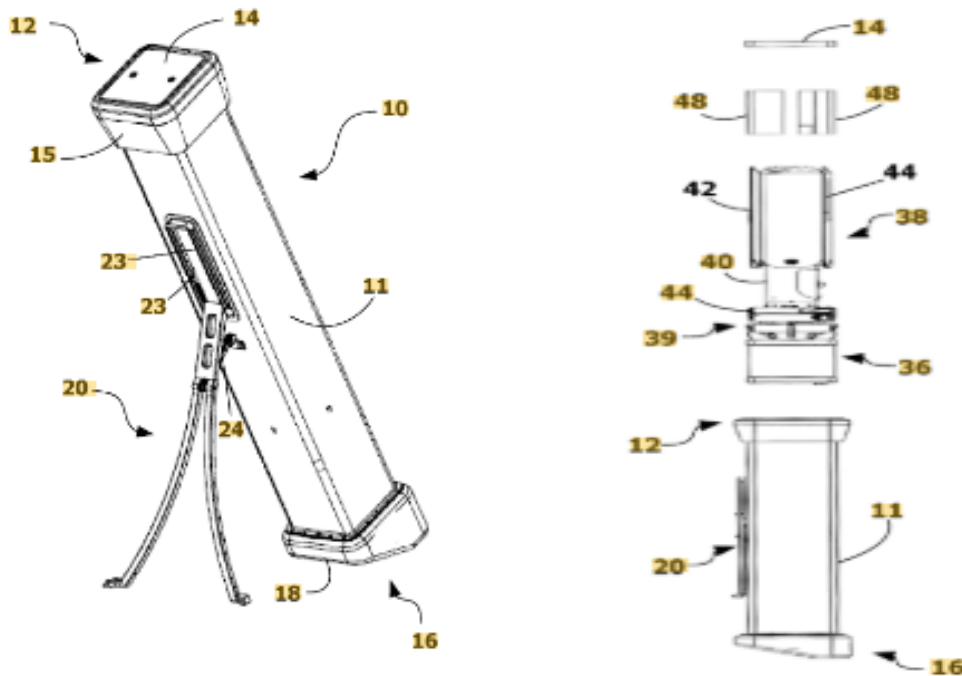


Fig. 4

Slika 6. Patent 2

3. PREGLED POSTOJEĆIH RJEŠENJA

Ovdje će se dati pregled postojećih rješenja za slične operativne parametre, tj. rješenja koja mogu zadovoljiti parametre zadatka.

3.1. Postojeća rješenja za slične operativne parametre

U dalnjem tekstu bit će prikazana pronađena postojeća rješenja dostupna na tržištu koja imaju slične operativne parametre, tj. imaju nosivost i brzinu u trenutku napuštanja katapulta koji su blizu zadatkom zadanim karakteristikama.

3.1.1. *Bungee UAV Launching System SCL-1A*

SCL-1A bungee sustav za lansiranje dizajniran je za lansiranje bespilotnih letjelica s uzletnom težinom do 10 kg pri brzini od 25 m/s (90 km/h). Katapult SCL-1A sposoban je lansirati bespilotne letjelice u raznim vremenskim uvjetima i u temperaturnom rasponu od -15° do +40°C.

- Maksimalna brzina lansiranja UAV-a: 25 m/s (75 km/h)
- Lansira UAV-ove s uzletnom težinom do 10 kg
- Sposoban za rad u različitim vremenskim uvjetima, od -15°C do +40°C
- Vrijeme postavljanja: 15 minuta

Strukturno, katapult se sastoji od tračnice i lansirnog uređaja. Elastični pojasevi pričvršćeni su za kolica, a istežu se preko uređaja pomoću električnog vitla do potrebne sile. Ovaj katapult radi autonomno i napaja se olovnom baterijom. Broj lansiranja ovisi o kapacitetu baterije, stanju njezinog punjenja i temperaturi okoline.

Napajanje uređaja iz automobilskog akumulatora je dopušteno. Lansiranje se upravlja daljinskim žičnim upravljačem duljine do 100 metara. Napetost pojaseva do zadane sile može se izvršiti i automatski i ručno. Razina napetosti pojaseva nadzire se pokazivačem na električnom dinamometru. U sustavu SCL-1A postoji mogućnost hitnog otpuštanja napetosti pojaseva. Kada su pojasevi napeti, kolica s UAV-om postavljenim na njima osigurana su sigurnosnim klinom, koji se izvlači neposredno prije lansiranja.



Slika 7. Katapult s elastičnim pojasevima

3.1.2. UAV Pneumatic Catapult Launching System BJCY-10

U smislu pouzdanosti i fleksibilnosti, katapult bespilotnih letjelica druge generacije s visokotlačnim pneumatskim sustavom pokazao se iznimno dobrim. Dizajniran od početka kao višenamjensko rješenje koje podržava taktičke UAV sustave, uvjek pruža izvrsne operacijske akcije.

Kao katapult bespilotnih letjelica druge generacije, podržava širok raspon početnih brzina lansiranja i težine bespilotnih letjelica, omogućujući prilagodbu različitim tipovima dronova u raznim uvjetima okoline, uključujući letjelice s propelerima i letjelice s turbinskim motorima.

Podesivi tlak lansiranja omogućuje katapultu da osigura promjenjivu brzinu polijetanja, koja se može optimizirati za specifičan tip zrakoplova i misiju. Zatvoreni pneumatski sustav može brzo obnoviti tlak u sustavu, skraćujući vrijeme između lansiranja pojedinog zrakoplova na manje od pet minuta.

Katapult je od početka dizajniran za brzo postavljanje. Nakon operativne verifikacije, katapult pokazuje izvrsnu pouzdanost i niske troškove održavanja. Opremljen je vlastitom jedinicom za napajanje, što omogućuje njegovo korištenje bez vanjskog izvora energije i smanjuje logistički teret za njegovo postavljanje.

Katapult mogu sigurno koristiti dvije osobe u raznim zadacima. Prema operativnim zahtjevima, vrijeme postavljanja može biti samo 10 minuta. Tijekom procesa dizajniranja, naglašena je sigurna operacija u svakoj fazi kako bi se smanjio rizik za operatera tijekom procesa lansiranja opreme.

- **Parametri veličine:**

- Vrijeme pripreme za lansiranje: 15 min
- Radna temperatura: $-30^{\circ} \sim +50^{\circ}$
- Vrijeme reakcije za lansiranje: 5 min
- Brzina transporta autocestom: 80 km/h
- Masa opreme: 2500 kg
- Kut lansiranja: $8-15^{\circ}$
- Ubrzanje ovisi o tipu drona



Slika 8. Katapult s pneumatskim sustavom

3.1.3. Electromagnetic Aircraft Launch System

Sustav katapultira zrakoplove s nosača pomoću katapulta koji koristi linearni induksijski motor. Linearni induksijski motor koristi izmjeničnu struju (AC) za stvaranje magnetskih polja koja pokreću kolica duž staze kako bi lansirali zrakoplov. EMALS se sastoji od četiri

glavna elementa. Linearni induksijski motor sastoji se od niza statorskih zavojnica s istom funkcijom kao kružne statorske zavojnice u konvencionalnom induksijskom motoru. Kada se napajaju, motor ubrzava kolica duž staze. Samo dio zavojnica oko kolica je napajan u bilo kojem trenutku, čime se minimiziraju reaktivni gubici. Ovaj sustav omogućuje glatko i precizno lansiranje zrakoplova te također omogućuje veliku fleksibilnost jer može lansirati više vrsta zrakoplova.



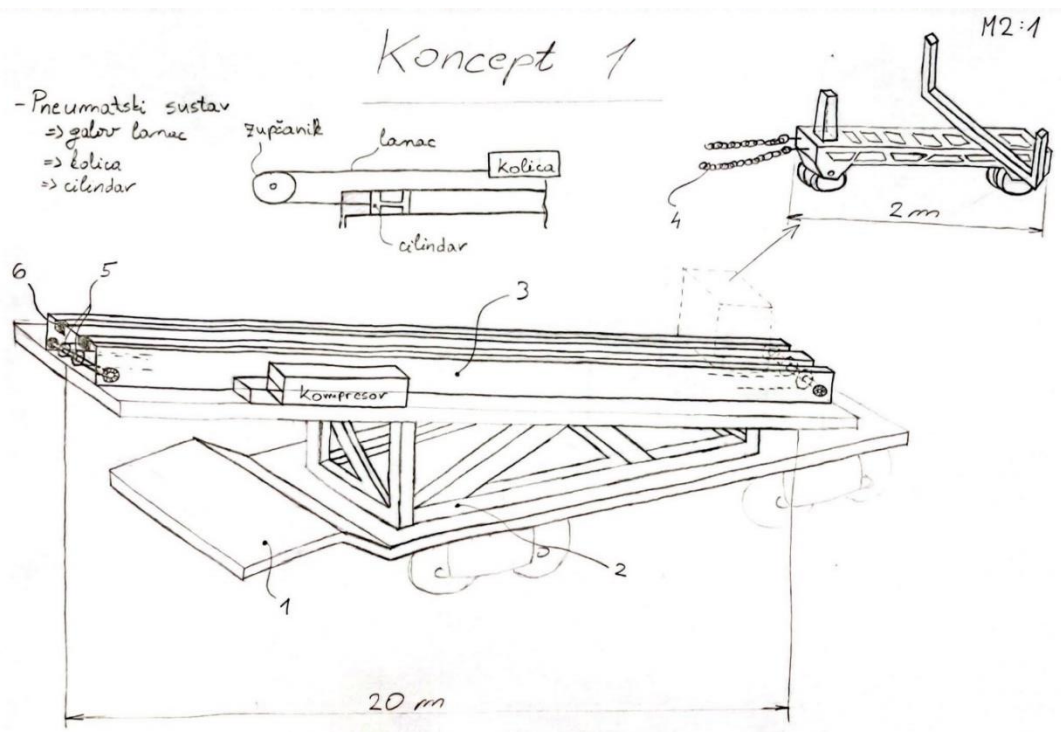
Slika 9. Elektromagnetski sustav za lansiranje

4. KONCEPCIJSKA RJEŠENJA

4.1. Koncepti

4.1.1. Koncept 1

Iz priloženog koncepta vidimo katapult za dronove montiran na prikolici kamiona (1). Nosiva konstrukcija (2) napravljena od greda kvadratnog profila koja je montirana na prikolicu kamiona pomoću zavarivanja, metalnih nosača i vijaka. Na nosivu konstrukciju je stavljena ploča koja nam služi za pohranu kompresora, spremnika za zrak, cijevi i spojnice te ostatka dijelova potrebnih za pneumatski sustav. Zatim smo na priloženu ploču pričvrstili zavarivanjem platformu (3) za katapultiranje dronova koja se sastoји od grede U-profila na koju smo zavarili dvije dugačke metalne ploče koje služe kolicima za gibanje tijekom katapultiranja. U konceptu je korišten pneumatski sustav za katapultiranje. Na kolica smo spojili dva galova lanca (4) koja su na krajevima platforme povezana sa zupčanicima (5) te s pneumatskim sustavom koji omogućuje katapultiranje dronova pomoću komprimiranog zraka koji obavlja mehanički rad. Na kraju platforme su smješteni gumeni odbojnici (6) s kojima se kolica sudare te tako dolazi do izbacivanja drona iz kolica.

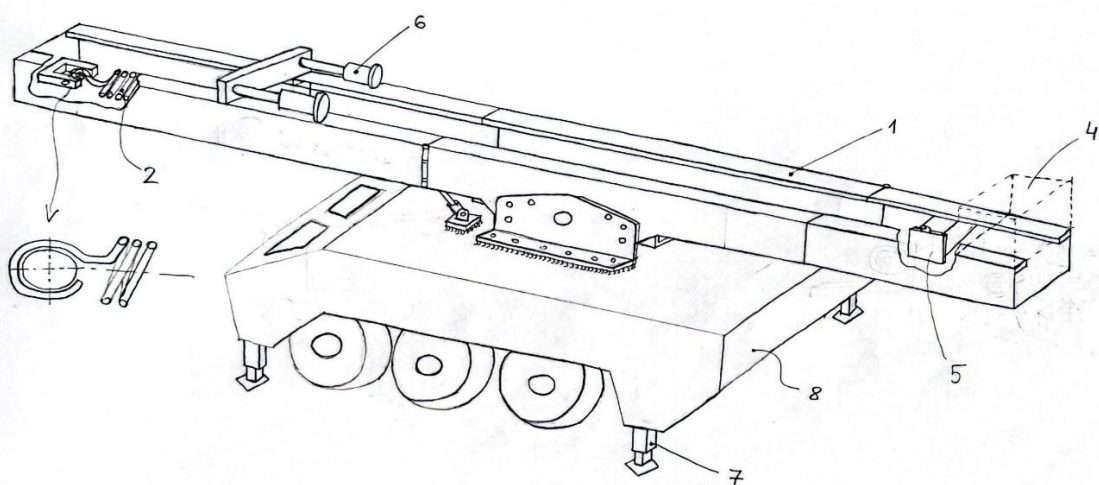


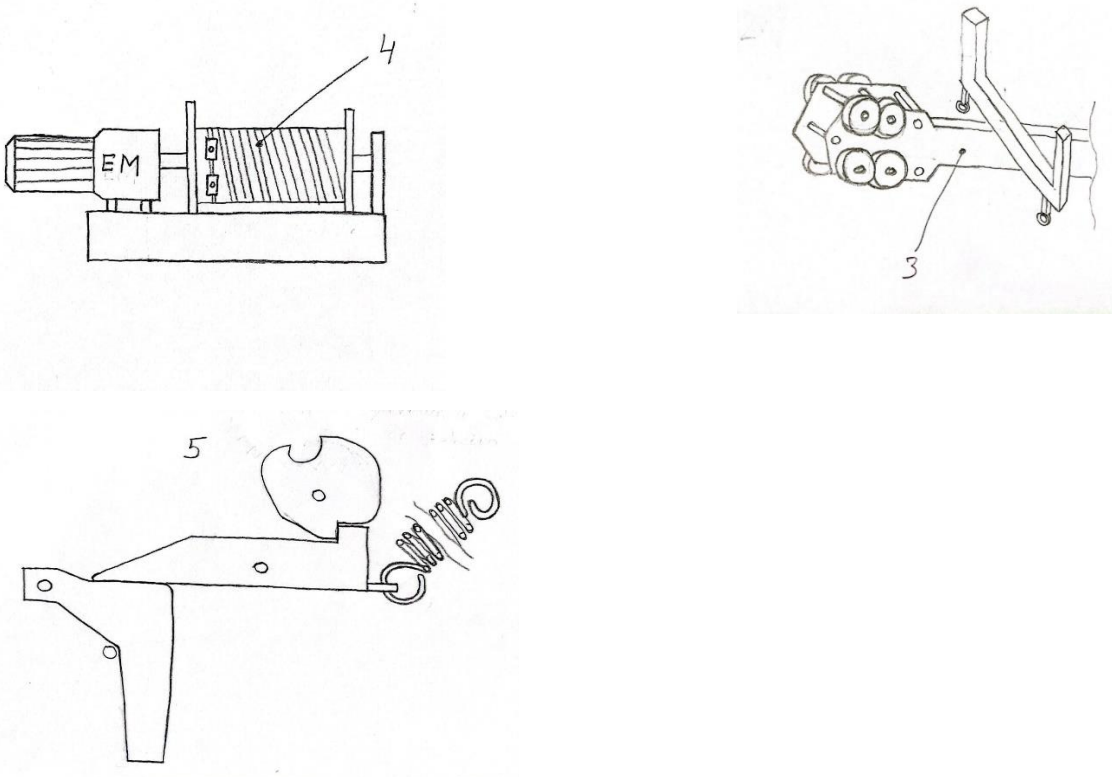
Slika 10. Koncept 1

4.1.2. Koncept 2

Iz priloženog koncepta vidimo katapult za dronove koji se može montirati na oklopno vozilo (8). Platforma (1) za katapultiranje se sastoji od grede koja je sastavljena iz tri dijela te je povezana vijcima i metalnim pločama. Platforma će se sklopljena prevoziti na oklopnom vozilu te kada bude potrebno katapultiranje ona će se rastvoriti tako što ručno zarotiramo prednji i stražnji dio platforme za 180° te ih pomoću klina pričvrstimo za glavni dio platforme. Dvije staze po kojima će se kolica gibati su zavarene za gredu te se na kraju platforme montiraju mehanički odbojnici radi zaustavljanja kolica nakon katapultiranja. U ovom je konceptu osmišljeno da se dronovi katapultiraju uz pomoć opruge (2) smještene pri vrhu platforme. Opruga se zakvači na kolica (3) te se kolica uz pomoć sajle i bubenja (4) vrati u početni položaj na početak platforme gdje se zakvače za okidač (5) i opruge se rastegnu. Početak katapultiranja je povlačenje poluge te tako dolazi do okidanja i do vraćanja opruge u svoj početni položaj što je ujedno i katapultiranje drona te na kraju dolazi do udarca kolica u mehaničke odbojnice (6) te se tako dron izbaci iz kolica. Na mjestu spoja platforme i oklopnog vozila moguće je mijenjati kut katapultiranja uz pomoć hidrauličkih cilindara koji rade na principu tlaka hidrauličke tekućine. Oklopno se vozilo pomoću hidrauličkih potpornih nogu (7) podiže od zemlje radi stabilnijeg lansiranja.

Koncept 2





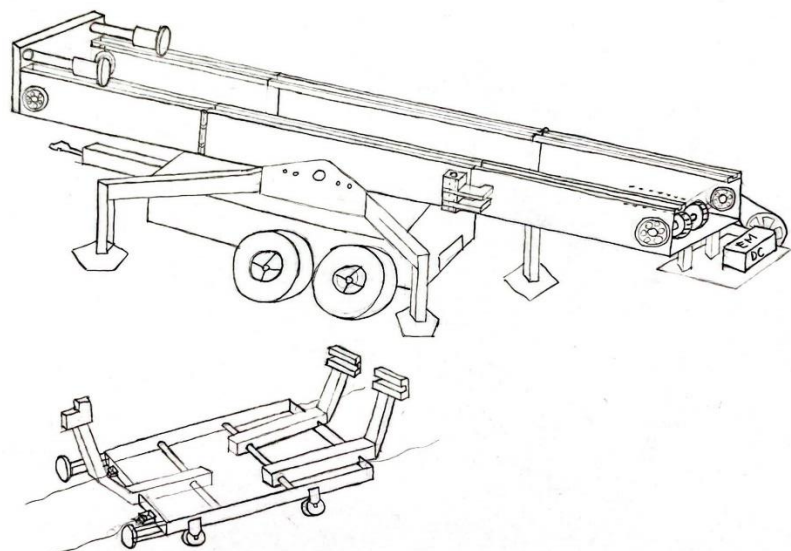
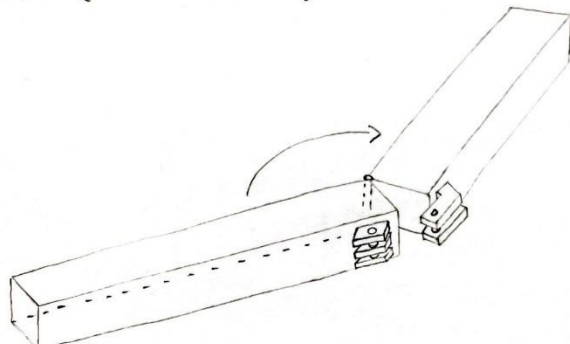
Slika 11. Koncept 2

4.1.3. Koncept 3

Iz priloženog koncepta vidimo katapult za dronove montiran na manju prikolicu s hidrauličkim potpornim nogama. Platforma se sastoji od grede U-profila koja je sastavljena iz 3 dijела. Prednji i stražnji dio grede se rotira za 180° radi njenog rastvaranja i zaključava se pomoću klina da zadrži svoj položaj. Na gredu su zavarene dvije staze po kojima se kolica gibaju. Na početku i kraju platforme su smješteni zupčanici preko kojih su prebačena dva galova lana i koja su spojena na kolica. DC motor pokreće vratilo na koje su smještena dva zupčanika na početku platforme. Budući da su galovi lanci povezani na kolica doći će do naglog pokretanja kolica pri čemu će kolica postići dovoljnu brzinu za polijetanje drona. Na kraju su platforme smješteni mehanički odbojnici koji zaustavljaju kolica. Pri udaru kolica dolazi do izbacivanja drona iz kolica. Kolica se vraćaju u početni položaj ručno te se postupak ponavlja.

Koncept 3

- Rastvaranje stope za laminiraju



Slika 12. Koncept 3

4.2. Vrednovanje i odabir koncepta

Nakon što su generirana 3 koncepta, potrebno je odabrati najbolji, koji će se konstrukcijski razraditi. Odabранo je nekoliko kriterija s dodijeljenim težinskim faktorima (1-10) na temelju kojih će se birati najbolji koncept tako da se svaki kriterij vrednuje ocjenom 1 (najlošije) do 5 (najbolje), a kao najbolji bit će odabran onaj s najvećom sumom bodova. Odabrani kriteriji su dimenzije, kompleksnost, jednostavnost uporabe, mogućnost podešavanja položaja, cijena, ostvarenje zadane brzine. Ostvarenje zadane brzine je najbitniji kriterij da bi dron mogao poletjeti.

Tablica 1. Vrednovanje i odabir koncepta

	Težinski faktor	Koncept 1	Koncept 2	Koncept 3
Kriteriji odabira		Ocjena	Ocjena	Ocjena
Funkcionalnost	9	3	5	3
Kompleksnost	6	2	3	4
Jednostavnost uporabe	7	4	4	4
Cijena	6	1	4	2
Ostvarenje zadane brzine	9	5	4	3
Ukupna ocjena		118	151	118
Konstrukcijska razrada?		NE	DA	NE

5. UVODNI DIO PRORAČUNA

Specifikacije zadatka:

1. Najveća masa pri polijetanju (Q): 250 kg
2. Brzina pri napuštanju katapulta (v): 20 m/s
3. Najveće dopušteno ubrzanje pri polijetanju (a): 10 m/s²

U uvodnom dijelu proračuna prikazane su glavne vrijednosti s kojima će se ići u detaljniji proračun pogonskog sustava i nosive konstrukcije.

Minimalna duljina katapulta (L):

$$L = v \cdot t \quad (1)$$

$$a = \frac{v}{t} \rightarrow t = \frac{v}{a} = \frac{20}{10} = 2 \text{ s} \quad (2)$$

$$L = \frac{v}{2} \cdot t = \frac{20}{2} \cdot 2 = 20 \text{ m} \quad (3)$$

Uzima se srednja vrijednost brzine jer brzina kreće od 0 m/s pa ubrzava do 20 m/s.

Potrebna sila za lansiranje (F_Q):

$$F_Q = Q \cdot a = 250 \cdot 10 = 2500 \text{ N} \quad (4)$$

Na katapultu će opruga za lansiranje imati silu od 2500 N.

6. PRORAČUN POGONSKOG SUSTAVA

Pogonski se sustav sastoji od kolica na koja se smješta dron koji će se izbacivati, na kolica se prihvata opruga koja je smještena na kraju platforme kojom se kolica gibaju te se uz pomoć sajle kolica dovode na početak platforme i natežu se opruge. Za zadržavanje opruge i kolica u nategnutom položaju koristi se okidač te djelovanjem ljudskom silom na okidač dolazi do lansiranja drona.

6.1. Odabir opruge [2]

U ovom pogonskom sustavu koristit će se vlačna opruga. Za određivanje opruge potrebni su maksimalna sila za ubrzanje objekta (F), deformacija opruge (x), krutost opruge (c), osnovne dimenzije opruge kao što su promjer žice (d), srednji promjer opruge (D_{sr}), broj navoja s oporužnim djelovanjem (i_f) i provjera maksimalnog torzijskog naprezanja (τ).

Maksimalna sila za ubrzanje objekta uz pomoć opruge:

$$F_{op} = F_Q = 2500 \text{ N},$$

Izbor deformacije opruge (x):

Potrebno je prepostaviti maksimalnu deformaciju opruge, ovisno o konstrukcijskim ograničenjima.

$$x = 20 \text{ m} \quad (5)$$

Krutost opruge (c):

$$c = \frac{G \cdot d^4}{8 \cdot D^3 \cdot i_f} = \frac{F_{op}}{x} = \frac{2500}{20000} = 125 \frac{\text{N}}{\text{m}} \quad (6)$$

Odabir ostalih veličina:

Uzima se da je srednji promjer opruge (D_{sr}) prema konstrukcijskim ograničenjima:

$$D_{sr} = 250 \text{ mm} \quad (7)$$

Izvedenom formulom za promjer žice (d):

$$d = \sqrt[3]{\frac{8 \cdot F \cdot D}{\pi \cdot \tau_{dop}}} = \sqrt[3]{\frac{8 \cdot 2500 \cdot 250}{\pi \cdot 600}} = 13,84 \text{ mm} \quad (8)$$

Odabrani promjer žice: $d = 14 \text{ mm}$.

Prema podacima iz [2] uzima se podatak:

$G = 80\ 000 \text{ N/mm}^2$; modul smicanja

$\tau_{dop} = 600 \text{ N/mm}^2$; dopušteno smično naprezanja

te je odabrana vrsta žice C.

Broj navoja s opružnim djelovanjem (i_f) [2]:

$$i_f = \frac{G \cdot d^4 \cdot x}{8 \cdot D^3 \cdot F} = \frac{80000 \cdot 14^4 \cdot 20000}{8 \cdot 250^3 \cdot 2500} = 197 \quad (9)$$

Na kraju proračuna opruge dolazimo do njene duljine u rasterećenom stanju [2]:

$$L_0 = (i_f + 1) \cdot d = (197 + 1) \cdot 14 = 2,772 \text{ m} \quad (10)$$

6.2. Odabir užeta[6]

Izbor užeta vrši se na temelju računske sile loma F_r

$$F_r = A \cdot R_m = f \cdot \frac{d^2 \pi}{4} \cdot R_m \quad (11)$$

F_r – računska sila loma, N

R_m – lomna čvrstoća žice, N/mm^2

F – maksimalna sila u užetu, N

Računska sila loma treba biti:

$$F_r \geq S \cdot F = F_s \quad (12)$$

Iz (11) i (12) slijedi da je:

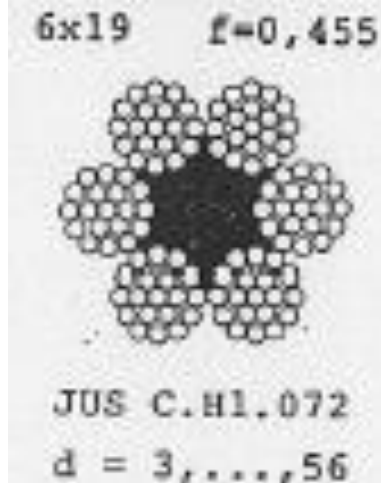
$$d \geq \sqrt{\frac{4 \cdot S}{f \cdot \pi \cdot R_m} \cdot F} \quad (13)$$

Faktor ispune f jednak je odnosu metalnog i teoretskog presjeka, tj.

$$f = \frac{A}{A_t} = \frac{4 \cdot A}{d^2 \pi} \quad (14)$$

Odabrana je pogonska grupa 1 te je faktor sigurnosti $S = 4,5$.

Odabрано je normalno pleteno uže, 6x19

**Slika 13. Pramena čelična užad**

$R_m = 1570 \text{ N/mm}^2$; lomna čvrstoća žice,

Sila u užetu mora biti u mogućnosti svladati silu u opruzi tako da se uzima:

$F = F_Q = 2500 \text{ N}$; sila u užetu.

$$d \geq \sqrt{\frac{4 \cdot 4,5 \cdot 2500}{0,455 \cdot \pi \cdot 1570}} = 4,48 \text{ mm} \quad (15)$$

Odabrani promjer: $d = 6 \text{ mm}$

Oznaka užeta: Uže 6 JUS C.H1.072-VJ-g 1570 sZ

VJ – vlaknasta jezgra

g – gola žica

6.3. Dimenzioniranje bubenja [6]

Bubanj je element pogonskih mehanizama koji objedinjava dvije funkcije, prenosi snagu, tj. pogoni uže i služi kao spremnik za potrebnu duljinu užeta. Namatanje užeta treba izvesti tako da se spriječi zapletanje užeta na bubenju. To se većinom postiže namatanjem na ožljebljeni bubenj.

6.3.1. Određivanje promjera bubenja (D):

$$D \geq \left(\frac{D}{d}\right)_{min} \cdot c_p \cdot d \quad (16)$$

Gdje je:

D , promjer bubenja mјeren kroz središnjicu užeta,

$\left(\frac{D}{d}\right)_{min} = 18$, minimalni dozvoljeni omjer prema Tablici 7. za pogonsku grupu 2m [6]:

$$D = 18 \cdot 1,12 \cdot 6 = 120,96 \text{ mm} \quad (17)$$

Uz pomoć strojarskog priručnika, Kraut [1] odabire se standardna dimenzija bešavne cijevi.

Žljebovi bubenja narezuju se na bešavnu cijev čije su dimenzije:

$D_N = 150 \text{ mm}$, nazivni promjer

$D = 159 \text{ mm}$, vanjski promjer bubenja

$\delta = 7,1 \text{ mm}$, debljina stijenke bubenja

6.3.2. Dimenzije profila žljebova bubenja:

Dubina utora za uže:

$$h = (0,375 \dots 0,4) \cdot d = (2,25 \dots 2,4) \quad (18)$$

Odabire se $h = 2,25 \text{ mm}$

Minimalna debljina stijenke:

$$s = (0,6 \dots 0,8) \cdot d = (0,6 \dots 0,8) \cdot 6 = (3,6 \dots 4,8) \quad (19)$$

Konačni promjer bubenja:

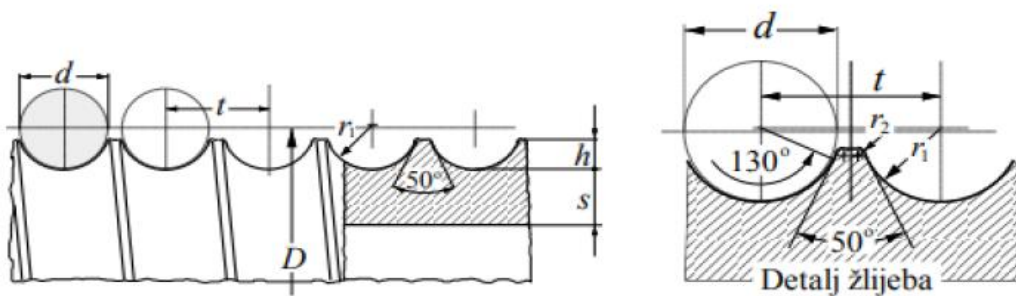
$$D_b = D - 2h = 159 - 2 \cdot 2,25 = 154,5 \text{ mm} \quad (20)$$

Debljina stijenke:

$$s = \delta - h = 7,1 - 2,4 = 4,7 \text{ mm} \quad (21)$$

6.3.3. Dimenzije utora za vođenje užeta:

Dimenzije profila žljebova slijede iz parametara užeta, prikazane su na slici



Slika 14. Osnovne dimenzije žljeba

Dimenziije profila žljebova su:

$$0,375d \leq h \leq 0,4d;$$

$$r_1 = 0,53d = 3,18 \text{ mm},$$

$$t = 1,15d = 6,9 \text{ mm},$$

$$r_2 = 0,5 \text{ mm},$$

očitano iz Tablice 2.

Tablica 2. . Dimenzija profila žljeba r_2 u ovisnosti o promjeru užeta

d , mm	3 do 9	10 do 28	29 do 37	38 do 44	45 do 54	56,58	60
r_2 , mm	0,5	0,8	1,3	1,6	2	2,5	3

Radna duljina bubenja je:

$$l_r = \frac{i_k \cdot H}{D\pi} \cdot t = \frac{2 \cdot \frac{20000}{2}}{154,5\pi} \cdot 6,9 = 284,32 \text{ mm} = 285 \text{ mm} \quad (22)$$

Dužina nenarezanog dijela na krajevima bubenja iznosi:

$$a = 4 \cdot t = 4 \cdot 6,9 = 27,6 \text{ mm} \quad (23)$$

Odabrana dužina nenarezanog dijela na krajevima $a = 30 \text{ mm}$

Ukupna duljina bubenja iznosi:

$$l_b = l_r + 2a = 285 + 2 \cdot 30 = 345 \text{ mm} \quad (24)$$

Zbog velike duljine užeta koje je potrebno za rad, uže će se namatati na bubanj u dva reda.

6.3.4. Proračun stijenke bubenja:

Cirkularno (tlačno) naprezanje na mjestu namatanja (Slika 14.)([6]):

$$\sigma_\varphi = \frac{0,5 \cdot F}{t \cdot s} = \frac{0,5 \cdot 2500}{6,9 \cdot 4,7} = 38,54 \frac{\text{N}}{\text{mm}^2} \quad (25)$$

Normalno naprezanje od lokalnog savijanja stijenke na mjestu namatanja (Slika 14.)[6]:

$$\sigma_x = 0,96 \cdot F \cdot \sqrt{\frac{1}{D \cdot s^3}} = 0,96 \cdot 2500 \cdot \sqrt{\frac{1}{154,5 \cdot 4,7^3}} = 18,95 \frac{\text{N}}{\text{mm}^2} \quad (26)$$

Dozvoljena naprezanja za čelični bubanj S37-2 (Č0361)[6]:

$$\sigma_{\varphi dop} = 100 \frac{\text{N}}{\text{mm}^2}$$

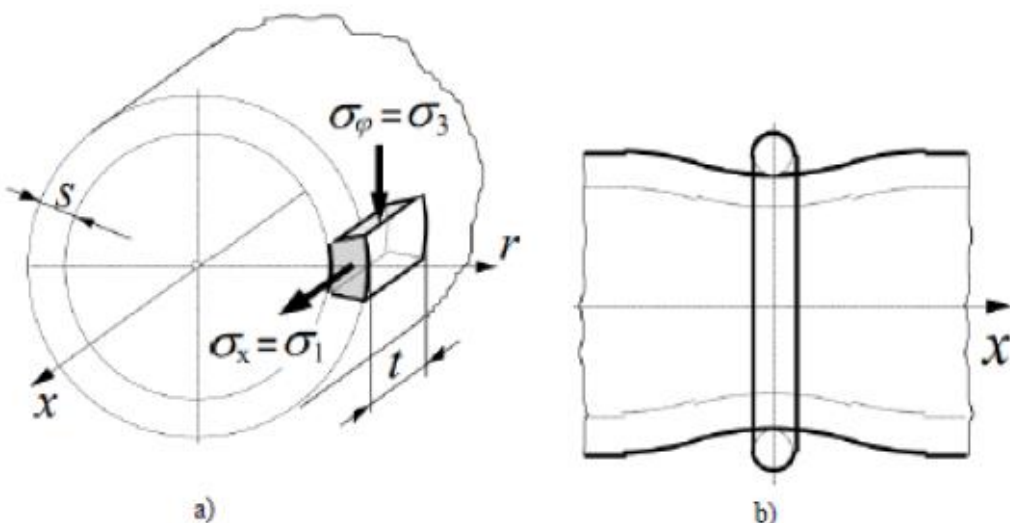
$$38,54 \frac{\text{N}}{\text{mm}^2} \leq 100 \frac{\text{N}}{\text{mm}^2}$$

ZADOVOLJAVA

$$\sigma_{x dop} = 50 \frac{\text{N}}{\text{mm}^2}$$

$$18,95 \frac{\text{N}}{\text{mm}^2} \leq 50 \frac{\text{N}}{\text{mm}^2}$$

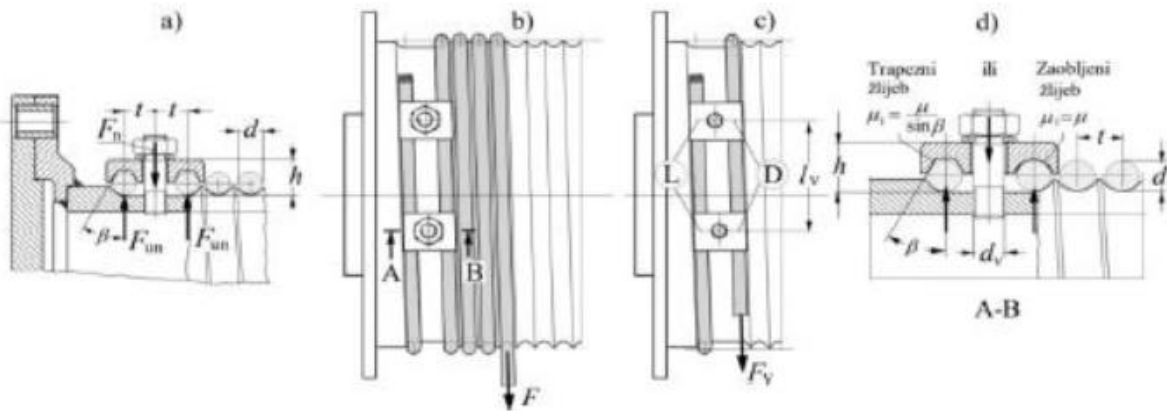
ZADOVOLJAVA



Slika 15. a) Naprezanje elemenata stijenke bubnja, b) Lokalno savijanje ljske bubnja od jednog navoja užeta

6.3.5. Veza užeta s bubnjem

Vezu užeta s bubnjem treba proračunati prema najvećoj sili u užetu kod nazivnog opterećenja, uzimajući u obzir trenje s $\mu=0,1$. Rabi se vijčana veza prikazana na Slici 16.



Slika 16. Veza užeta s bubnjem

Kod najnižeg položaja kuke trebaju ostati još dva navoja užeta, ne računajući navoje koji služe za pričvršćivanje. Sila u užetu na mjestu veze s bubnjem mora biti $F_V \leq 0,4F$.

Odabrani su vijci M6 čvrstoće 6.8.

Broj vijaka z računa se prema opterećenju na vlak i savijanje:

$$\sigma = \frac{1,3 \cdot F_n}{z \cdot A_v} + \frac{\mu_1 \cdot F_n \cdot h}{\frac{z \pi d^3}{32}} \leq \sigma_d = \frac{R_e}{S} \quad (27)$$

$$z \geq \frac{F_n}{\sigma_d} \cdot \left(\frac{1,3}{A_v} + \frac{32 \mu_1 h}{\pi d^3} \right) \quad (28)$$

$$\mu_1 = \frac{\mu}{\sin \beta} \quad (29)$$

Gdje je:

$d = 6 \text{ mm}$, promjer jezgre vijka [6],

$A_v = 17,9 \text{ mm}^2$, površina poprečnog presjeka vijka [6],

$F_n = 0,8F_Q$, potrebna normalna sila u jednom vijke,

$R_e = 480 \text{ MPa}$, granica tečenja za materijal vijka 6.8 [6],

$S = 1,5$, faktor sigurnosti,

$\beta = 40^\circ$, definirano na Slici 15.,

$h = 12 \text{ mm}$, definirano na Slici 15.

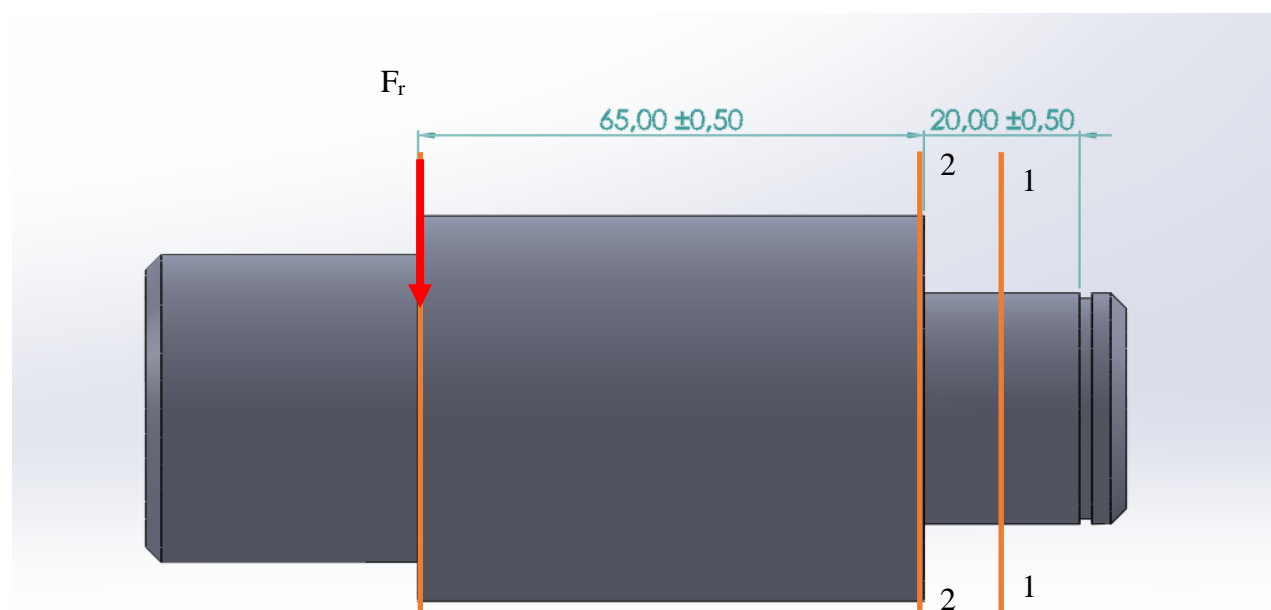
$$\mu_1 = \frac{0,1}{\sin 40} = 0,156 \quad (30)$$

$$z \geq \frac{0,8 \cdot 2500}{480} \cdot \left(\frac{1,3}{17,9} + \frac{32 \cdot 0,156 \cdot 12}{\pi \cdot 6^3} \right) = 1,68 \quad (31)$$

Odabrani broj vijaka je dva vijka M6 čvrstoće 6.8.

6.3.6. Dimenzioniranje osovine bubnja

Osovina bubnja oslanja na dva mesta. Jedno mjesto je ležajno mjesto, a drugo na ploču bubnja.



Slika 17. Prikaz kritičnih presjeka osovine bubnja

Radijalna sila na osovinu iznosi:

$$F_r = F_Q = 2500 \text{ N} \quad (32)$$

- Provjera kritičnog presjeka 1-1

$d_1 = 30 \text{ mm}$; promjer osovine na mjestu kritičnog presjeka,

$l_1 = 75 \text{ mm}$; udaljenost kritičnog presjeka od mjesta djelovanja radijalne sile

Moment otpora presjeka manjeg stupnja osovine na mjestu kritičnog presjeka iznosi:

$$W_1 = \frac{d_1^3 \pi}{32} = \frac{30^3 \pi}{32} = 2650,72 \text{ mm}^3 \quad (33)$$

Za odabrani materijal osovine čelik St70 (Č 0745) je po [4] maksimalno dopušteno naprezanje jednako:

$$\sigma_{fdop} = 160 \frac{\text{N}}{\text{mm}^2} \quad (34)$$

Zbog steznog spoja iz priloga u [5] dobivamo:

$$\beta_{kf1} = 2,5 \quad (35)$$

Uz kvalitetu obrade stupnja $R_a=3,2$, $d_l=30 \text{ mm}$, i $R_m=750 \text{ N/mm}^2$.

$$b_1 = 0,90 \text{ i } b_2 = 0,88 \quad (36)$$

Moment koji nastaje u presjeku 1-1 iznosi:

$$M_1 = F_r \cdot l_1 = 2500 \cdot 75 = 187500 \text{ Nmm} \quad (37)$$

Naprezanje uslijed momenta savijanja u presjeku 1-1 iznosi:

$$\sigma_{f1} = \frac{M_1}{W_1} = \frac{187500}{2650,72} = 70,74 \frac{\text{N}}{\text{mm}^2} \quad (38)$$

Potreban sigurnost osovine u presjeku iznosi: $S=1,4$

Trajna dinamička čvrstoća kod naizmjeničnog opterećenja [5]: $\sigma_{FDN} = 320 \frac{\text{N}}{\text{mm}^2}$

Postignuta sigurnost:

$$S_{post} = \frac{b_1 \cdot b_2 \cdot \sigma_{FDN}}{\beta_{kf1} \cdot \sigma_{f1}} = \frac{0,90 \cdot 0,88 \cdot 320}{2,5 \cdot 70,74} = 1,43 \quad (39)$$

ZADOVOLJAVA UVJET ČVRSTOĆE

- Provjera kritičnog presjeka 2-2

U ovom se presjeku koristi DIN 509-H 0,8x0,3 radi boljeg nasjedanja ležaja na naslon osovine.

$d_2 = 30 \text{ mm}$: promjer manjeg stupnja osovine na mjestu kritičnog presjeka,

$D = 50 \text{ mm}$; promjer većeg stupnja osovine na mjestu kritičnog presjeka.

$\rho_2 = 0,8 \text{ mm}$; polumjer zaobljenja na mjestu kritičnog presjeka,

$l_2 = 65 \text{ mm}$; udaljenost kritičnog presjeka od mjesta djelovanja radikalne sile.

Moment otpora presjeka manjeg stupnja osovine na mjestu kritičnog presjeka iznosi:

$$W_2 = \frac{d^3 \pi}{32} = \frac{30^3 \pi}{32} = 2650,72 \text{ mm}^3 \quad (40)$$

Za odabrani materijal osovine čelik St70 (Č 0745) je po [4] maksimalno dopušteno naprezanje jednako:

$$\sigma_{fdop} = 160 \frac{\text{N}}{\text{mm}^2} \quad (41)$$

Uz omjere $\frac{D_2}{d_2} = \frac{50}{30} = 1,667$ i $\frac{\rho_2}{d_2} = 0,0267$ iz priloga u [5] dobivamo:

$$\beta_{kfII} = 2,48 \quad (42)$$

Uz kvalitetu obrade stupnja Ra=3.2, $d_2=30$ mm i $R_m=750$ N/mm² iz tablica u [5] dobivamo:

$$b_1 = 0,90 \text{ i } b_2 = 0,95 \quad (43)$$

Moment koji nastaje u presjeku 2-2 iznosi:

$$M_2 = F_r \cdot l_2 = 2500 \cdot 65 = 162500 \text{ Nmm} \quad (44)$$

Naprezanje uslijed momenta savijanja u presjeku 2-2 iznosi:

$$\sigma_{f2} = \frac{M_2}{W_2} = \frac{162500}{2650,72} = 61,3 \frac{\text{N}}{\text{mm}^2} \quad (45)$$

Potrebna sigurnost osovine iznosi $S=1,4$

Trajna dinamička čvrstoća kod naizmjeničnog opterećenja [5]: $\sigma_{fDN} = 320 \frac{\text{N}}{\text{mm}^2}$

Postignuta je sigurnost:

$$S_{post} = \frac{b_1 \cdot b_2 \cdot \sigma_{fDN}}{\beta_{kfII} \cdot \sigma_{f2}} = \frac{0,9 \cdot 0,95 \cdot 320}{2,48 \cdot 61,3} = 1,79 \quad (46)$$

ZADOVOLJAVA UVJET ČVRSTOĆE

6.4. Odabir ležaja bubenja [7]:

Ležaj trpi najveća opterećenja u trenutku kada je uže skroz namotano odnosno kada je najbliže ležaju. Odabran je samopodesivi bačvasti ležaj iz SKF kataloga 22206 E [8]. Ležaj je s jedne strane osiguran uskočnikom od pomicanja te je s druge strane naslonjen na naslon.

**Slika 18. Ležaj 22206 E**

Dimensions	Performance
Bore diameter	30 mm
Outside diameter	62 mm
Width	20 mm
	Basic dynamic load rating 66.1 kN
	Basic static load rating 58.5 kN
	Reference speed 10 000 r/min
	Limiting speed 14 000 r/min
	SKF performance class SKF Explorer

Slika 19. Karakteristike ležaja 22206 E

$$C_1 = P \left(\frac{60 \cdot n_m \cdot L_{10h_min}}{10^6} \right)^{\frac{1}{\varepsilon}} \leq C \quad (47)$$

$$n_m = \frac{v_{pov} \cdot i_k}{D\pi} = \frac{2 \cdot 2}{0,16\pi} = 7,95 \frac{m}{s} = 477 \text{ min}^{-1} \quad (48)$$

Iz prethodnog proračuna vidimo da je:

$$P = F_r = F_Q = 2500 \text{ N},$$

n_m ; brzina vrtnje ležaja u minutama,

$L_{10h_min} = 12500 \text{ h}$; nazivni vijek trajanja u satima rada,

$\varepsilon = 10/3$; eksponent vijeka trajanja ležajeva s teorijskim dodirom u liniji,

$C = 66,1 \text{ kN}$; dinamička nosivost

$v_{pov} = 2 \text{ m/s}$.

$$C_1 = 2500 \cdot \left(\frac{60 \cdot 477 \cdot 12500}{10^6} \right)^{\frac{3}{10}} = 14,588 \text{ kN} \quad (49)$$

$$C_1 \leq C$$

$$14,588 \text{ kN} \leq 66,1 \text{ kN} \quad (50)$$

UVJET ZADOVOLJAVA

6.5. Odabir elektromotora s kočnicom

Pitanje izbora snage motora najjednostavnije je kod trajnog pogona S1. Potrebna snaga motora je:

$$P = \frac{Q \cdot g \cdot v_{pov}}{\eta}, W \quad (51)$$

Kod mehanizma za povlačenje kolica, bira se motor kao da je riječ o trajnom pogonu. Ubrzanje je dovoljno malo da sljedeći veći motor sigurno može pokriti težinu i dodatnu inerciju.

Za brzinu povlačenja kolica uzimamo da je:

$$v_{pov} = 1 \frac{\text{m}}{\text{s}} \quad (52)$$

Ukupni stupanj djelovanja pogonskog mehanizma:

$$\eta = \eta_R \cdot \eta_B \cdot \eta_{fk} \cdot \eta_{koč} \quad (53)$$

$\eta_{RED}=0,94$, stupanj djelovanja reduktora,

$\eta_{BU}=0,98$, stupanj djelovanja bubenja,

$\eta_{koč}=0,97$, stupanj djelovanja kočnice.

Sada je iskoristivost mehanizma za dizanje:

$$\eta = 0,94 \cdot 0,98 \cdot 0,97 = 0,894 \quad (54)$$

Uvrštavanjem dobiva se potrebna nazivna snaga motora za dizanje:

$$P = \frac{250 \cdot 9,81 \cdot 2}{0,894} = 2,743 \text{ kW} \quad (55)$$

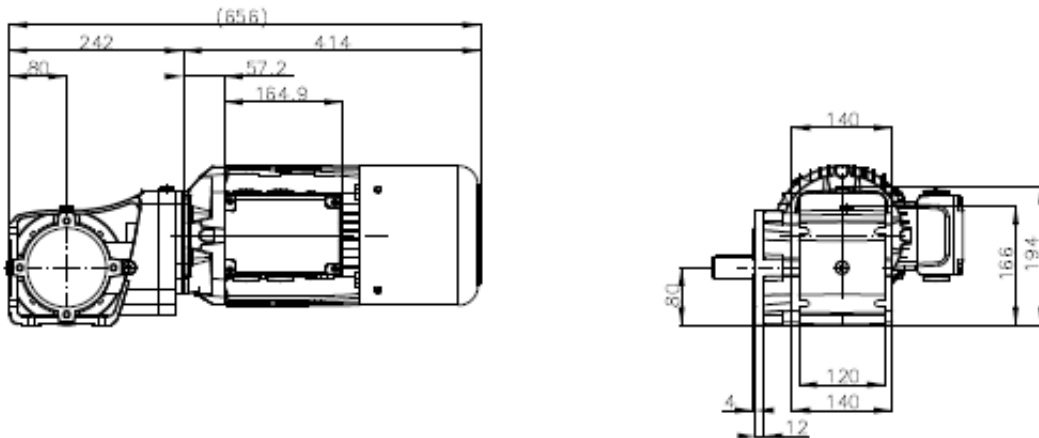
Izlazna brzina vrtnje reduktora određuje se iz formule:

$$v_{pov} = \omega \cdot r_{bu} = 2\pi \cdot n \cdot r_{bu} \quad (56)$$

Iz te formule dobivamo izvedenu formulu za brzinu vrtnje reduktora n_{RED} :

$$n_{RED} = \frac{v_{pov}}{2\pi \cdot r_{bu}} = \frac{1}{2\pi \cdot 0,08} = 1,989 \text{ } s^{-1} = 119,34 \text{ min}^{-1} \quad (57)$$

Odabran je elektromotor **SK 92372.1VF-100AP/4 BRE40 TF**

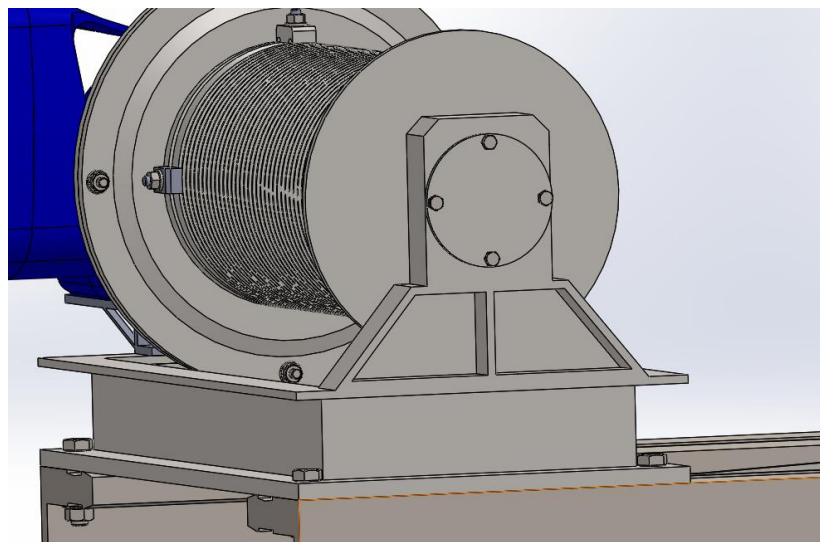


Slika 20. Shema motora za povlačenje

Tablica 3. Karakteristike elektromotora

Naziv	Oznaka	Veličina	Mjerna jedinica
Snaga motora	P	2,743	kN
Brzina vrtnje motora	n _m	1450	1/min
Prijenosni omjer reduktora	i _{red}	12,15	-
Izlazna brzina reduktora	n _{red}	119,34	1/min

6.6. Proračun vijčanog spoja između potporne konstrukcije bubenja i platforme za lansiranje



Slika 21. Vijčani spoj sklopa bubenja i platforme za lansiranje

Prikazani vijčani spoj opterećen je silom potezanja F_Q horizontalno prema desno, opterećen je poprečno.

Vijčani spoja sadrži 4 vijka što znači da će sila u svakom vijke biti:

$$F_v = \frac{F_Q}{4} = \frac{2500}{4} = 625 \text{ N} \quad (58)$$

Naprezanje na odrez:

$$\tau_a = \frac{F_v}{A} = \frac{625}{\frac{10^2 \pi}{4}} = 7,96 \frac{\text{N}}{\text{mm}^2} \quad (59)$$

Naprezanje na bokove prvrta:

$$\sigma_l = \frac{F_v}{d \cdot s} = \frac{625}{10 \cdot 22} = 2,84 \frac{\text{N}}{\text{mm}^2} \quad (60)$$

F_v u N; poprečna pogonska sila na jednom vijke,

τ_a u N/mm^2 ; naprezanje na odrez,

A u mm^2 ; mjerodavni presjek vijke ili drugih elemenata opterećenih na odrez,

σ_l u N/mm^2 ; naprezanje bokova prvrta,

d u mm; vanjski promjer nosećeg dijela vijke ili elemenata opterećenog na odrez,

s u mm; najmanja nosiva duljina na vijke ili elementu opterećenog na odrez.

Provjera čvrstoće:

Vijak M10 je čvrstoće 5.6 gdje je X = 5, a Y = 6.

Tablica 4. Oznake i svojstva čvrstoće čelika za vijke i matice prema DIN 267 [2]

Oznaka čelika za vijke	3.6	4.6	4.8	5.6	5.8	6.6	6.8	6.9	8.8	10.9	12.9	14.9
Minimalna čvrstoća na vlek σ_M	340	400	400	500	500	600	600	600	800	1000	1200	1400
Minimalna granica tečenja σ_T	200	240	320	300	400	360	480	540	640	900	1080	1260
Oznaka čelika za matice	4		5		6			8	10	12	14	
Naprezanje pri ispitivanju σ_{vL}	400		500		600			800	1000	1200	1400	
Djelomično još važeća oznaka		4 D		5 D	5 S		6 S	6 G	8 G	10 K		

Uzima se da je:

$$\sigma_M = 500 \frac{\text{N}}{\text{mm}^2} \quad (61)$$

$$\sigma_T = 300 \frac{\text{N}}{\text{mm}^2} \quad (62)$$

Dopuštena naprezanja:

$$\tau_{a,dop} = 0,6 \cdot \sigma_T = 0,6 \cdot 300 = 180 \frac{\text{N}}{\text{mm}^2} \quad (63)$$

$$\sigma_{l,dop} = 0,75 \cdot \sigma_M = 0,75 \cdot 500 = 375 \frac{\text{N}}{\text{mm}^2} \quad (64)$$

Usporedbom dobivenih vrijednosti:

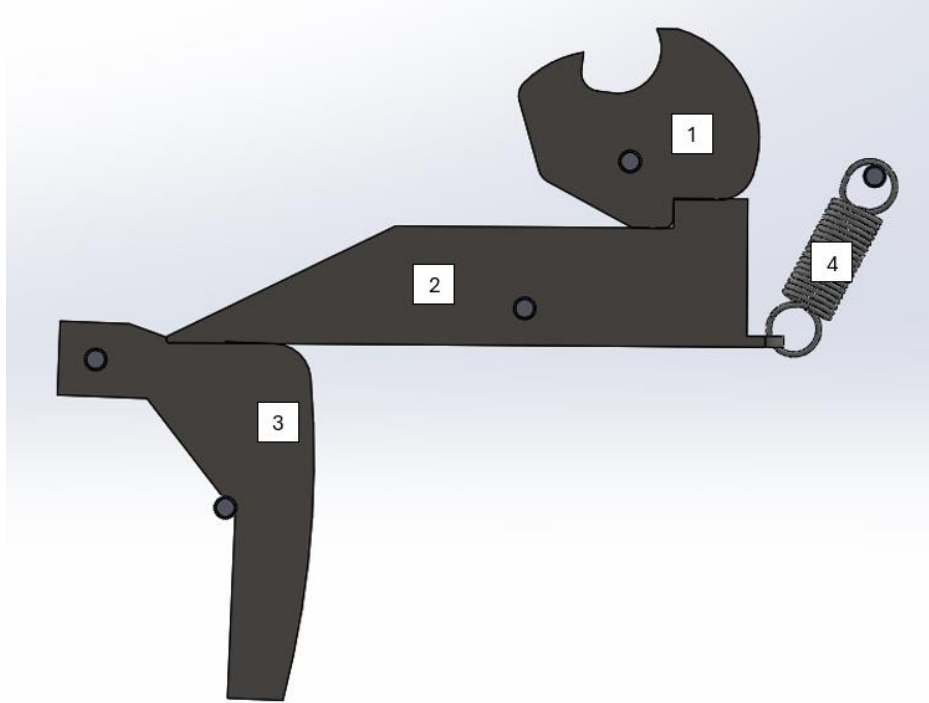
$$\sigma_{l,dop} \geq \sigma_l \quad (65)$$

$$\tau_{a,dop} \geq \tau_a \quad (66)$$

Vidi se da vrijednosti zadovoljavaju uvjete.

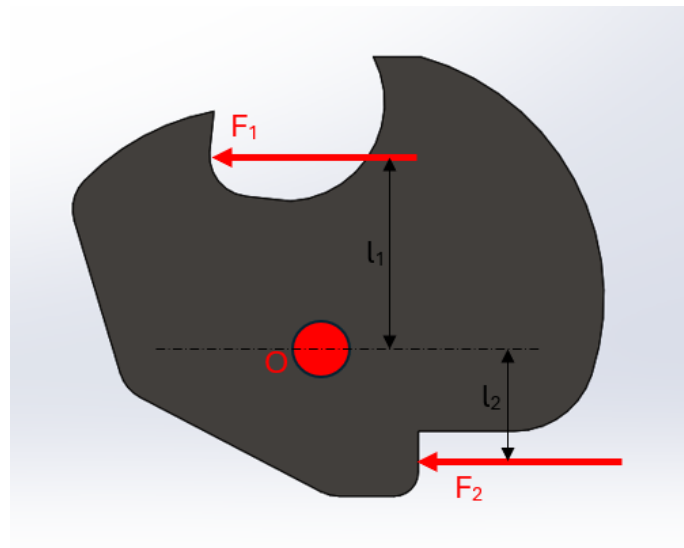
6.7. Proračun okidača

Za početak lansiranja drona potreban je okidač. Okidač je konstruiran po uzoru na okidač na samostrijelu. Na stražnjem dijelu kolica nalazi se vilica sa svornjakom te se on dovodi u položaj da se zakvači za okidač te se u trenutku katapultiranja povlači poluga okidača i dolazi do katapultiranja.



Slika 22. Dijelovi okidača

6.7.1. Određivanje sila dodira za dio 1



Slika 23. Prvi dio okidača

Određivanje sila određuje se sumom momenata oko točke O:

$$l_1 = 21 \text{ mm}; \text{ udaljenost sile } F_1 \text{ od točke O},$$

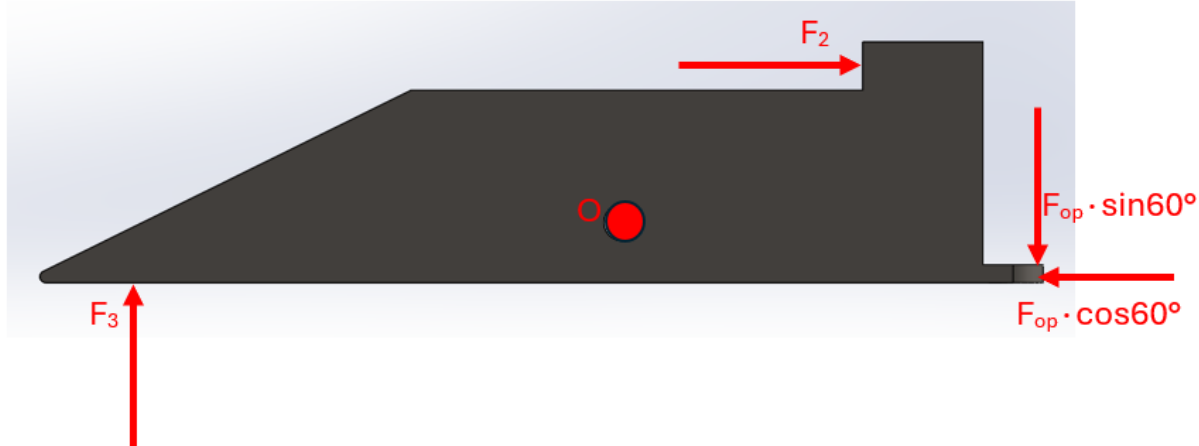
$$l_2 = 14 \text{ mm}; \text{ udaljenost sile } F_2 \text{ od točke O},$$

$$F_1 = F_Q = 2500 \text{ N}$$

$$\sum M_o = 0; F_1 \cdot l_1 - F_2 \cdot l_2 = 0 \quad (67)$$

$$F_2 = \frac{3}{2} \cdot 2500 = 3750 \text{ N} \quad (68)$$

6.7.2. Određivanje sila dodira za dio 2



Slika 24. Drugi dio okidača

Sile se određuju iz jednadžbe da suma sila na istoj koordinatnoj osi moraju biti jednakе nuli:

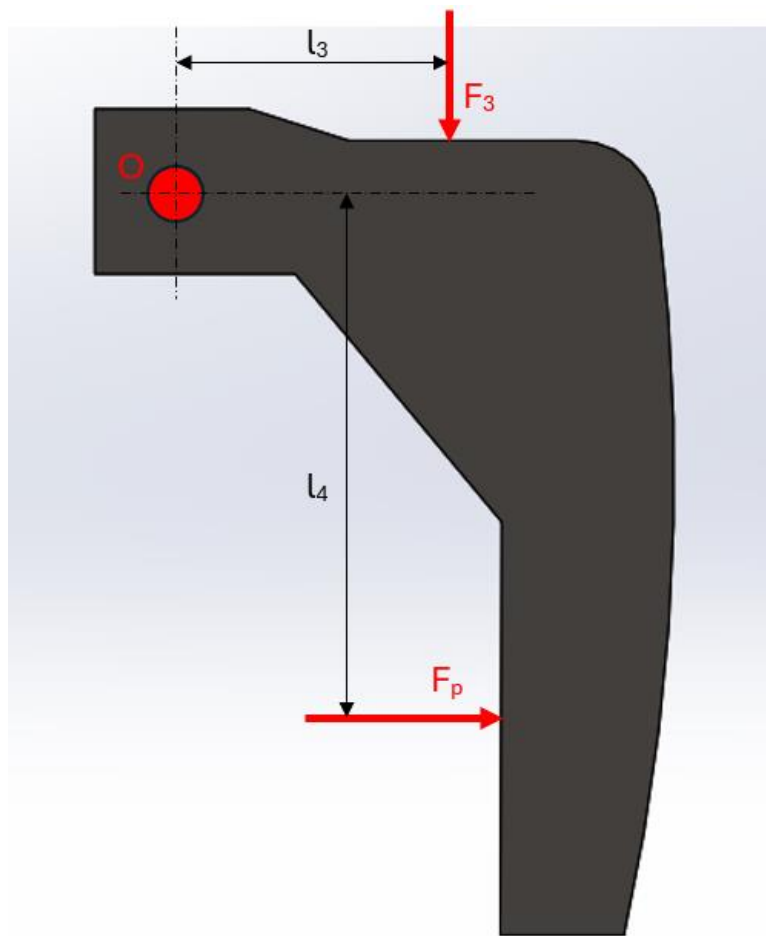
$$F_2 - F_{op} \cdot \cos 60^\circ = 0;$$

$$F_{op} = \frac{F_2}{\cos 60^\circ} = \frac{3750}{\cos 60^\circ} = 7500 \text{ N} \quad (69)$$

$$F_3 - F_{op} \sin 60^\circ = 0;$$

$$F_3 = F_{op} \sin 60^\circ = 7500 \cdot \sin 60^\circ = 6495,19 \text{ N}$$

6.7.3. Određivanje sile dodira za dio 3



Slika 25. Treći dio okidača

Sile se određuje sumom momenata oko točke O:

$$l_3 = 35 \text{ mm}; \text{ udaljenost sile } F_3 \text{ od točke O},$$

$$l_4 = 250 \text{ mm}; \text{ udaljenost sile } F_p \text{ od točke O},$$

$$F_3 = 6495,19 \text{ N}$$

$$\sum M_o = 0; F_p \cdot l_4 - F_3 \cdot l_3 = 0 \quad (70)$$

$$F_p = \frac{35}{250} \cdot F_3 = \frac{35}{250} \cdot 6495,19 = 909,33 \text{ N} \quad (71)$$

Potrebno je djelovati silom od 909,33 N na polugu da bi došlo do katapultiranja.

6.7.4. Provjera čvrstoće opruge [2]

Odabrana je vlačna opruga radi mogućnosti vraćanja okidača u početni položaj te omogućava držanje kolica u početnom položaju (prije lansiranja).

Karakteristike opruge:

$F_{op} = 7500 \text{ N}$; sila u opruzi,

$d = 10 \text{ mm}$; promjer žice,

$D = 40 \text{ mm}$; srednji promjer navoja,

$L = 134 \text{ mm}$; duljina u neopterećenom stanju,

$L_0 = 55,9 \text{ mm}$; duljina u rastegnutom stanju.

$\tau_{dop} = 0,45 \cdot \sigma_M$; dopušteno torzijsko naprezanje opruge,

Za žicu C i promjer $d=8 \text{ mm}$ iz Tablice 55., str. 144 iz [2], iščitava se da je najmanja vlačna čvrstoća $\sigma_M = 1430 \text{ N/mm}^2$.

$$\tau_{dop} = 0,45 \cdot 1430 = 643,5 \frac{\text{N}}{\text{mm}^2} \quad (72)$$

Određivanje idealnog torzijskog naprezanja:

$$\tau_i = \frac{8 \cdot D \cdot F}{\pi \cdot d^3} = \frac{8 \cdot 40 \cdot 7500}{\pi \cdot 10^3} = 625,72 \frac{\text{N}}{\text{mm}^2} \quad (73)$$

$$\tau_i \leq \tau_{dop}$$

$$625,72 \frac{\text{N}}{\text{mm}^2} \leq 643,5 \frac{\text{N}}{\text{mm}^2} \quad (74)$$

OPRUGA ZADOVOLJAVA

6.8. Mehanički odbojnici

Za zaustavljanje kolica pri završetku lansiranja koriste se mehanički odbojnici. Korištena je kupovna komponenta mehaničkog odbojnika koja je uzeta sa stranice TraceParts. U Tablici 6. prikazane su karakteristike mehaničkog odbojnika.

Tablica 5. Karakteristike mehaničkog odbojnika ACE MA 4575

Tip	Podesivi industrijski amortizer
Navoj za montažu	M45x1,5
Hod	75 mm
Ukupna duljina	246 mm
Duljina tijela	145 mm
Maksimalni kapacitet energije po ciklusu	1170 Nm

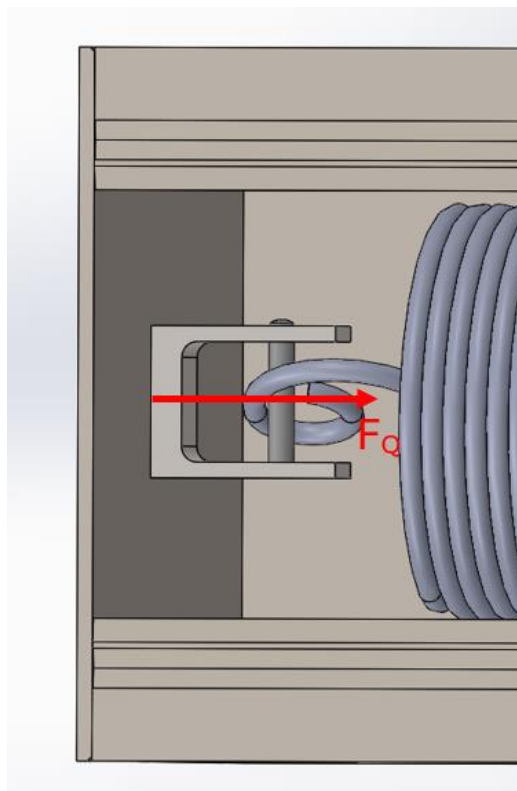
Potrebno je provjeriti hoće li odabrani odbojnik zaustaviti kolica pri katapultiranju. Provjera će se izvršiti preko energije.

Energija koju bi mehanički odbojnik trebao apsorbirati ako sila potezanja (F_Q) iznosi 2500 N na hodu od 75 mm.

$$E = F_Q \cdot l = 2500 \cdot 0,075 = 187,5 \text{ Nm} \quad (75)$$

Iz priloženog vidi se da će mehanički odbojnik apsorbirati energiju od 187,5 Nm što znači da će zaustaviti kolica.

6.9. Čeona ploča opruge

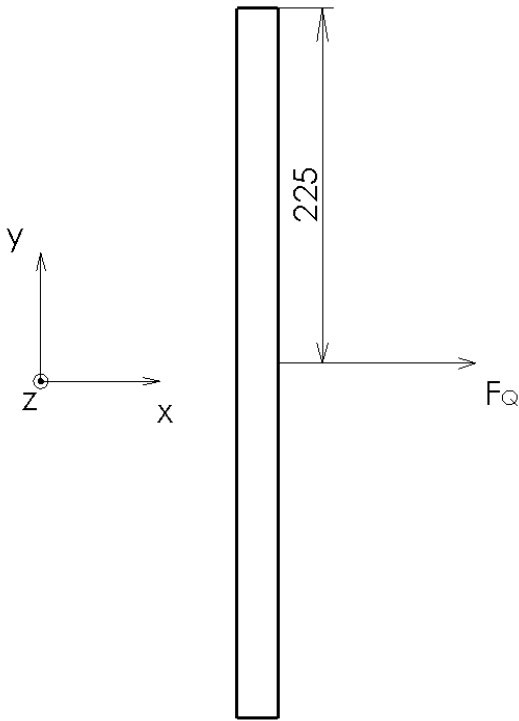


Slika 26. Opterećenje čeone ploče

Čeona ploča je zavarena za platformu za lansiranje te je opterećena na vlak i savijanje zbog djelovanja sile potezanja.

Čeona ploča je opterećena na vlak zbog horizontalnog djelovanja sile potezanja (F_Q).

Dimenzije čeone ploče 450x400x10.



Slika 27. Opterećenje čeone ploče

Vlačno naprezanje:

$$\sigma_v = \frac{F_Q}{A_p} = \frac{2500}{450 \cdot 10} = 0,55 \frac{\text{N}}{\text{mm}^2} \quad (76)$$

Naprezanje na savijanje:

$$\sigma_f = \frac{M_z}{W_z} \quad (77)$$

Moment koji radi sila F_Q :

$$M_z = F_Q \cdot \frac{450}{2} = 2500 \cdot 225 = 562500 \text{ Nmm} \quad (78)$$

Moment otpora:

$$W_z = \frac{I_z}{e} = \frac{\frac{10 \cdot 450^3}{12}}{225} = 337500 \text{ mm}^3 \quad (79)$$

Uvrštavanjem dobivenih vrijednosti u jednadžbu (77) dobiva se:

$$\sigma_f = \frac{562500}{337500} = 1,67 \frac{\text{N}}{\text{mm}^2} \quad (80)$$

Čeona je ploča izrađena od čelika St52-3, čije je dopušteno naprezanje [1]:

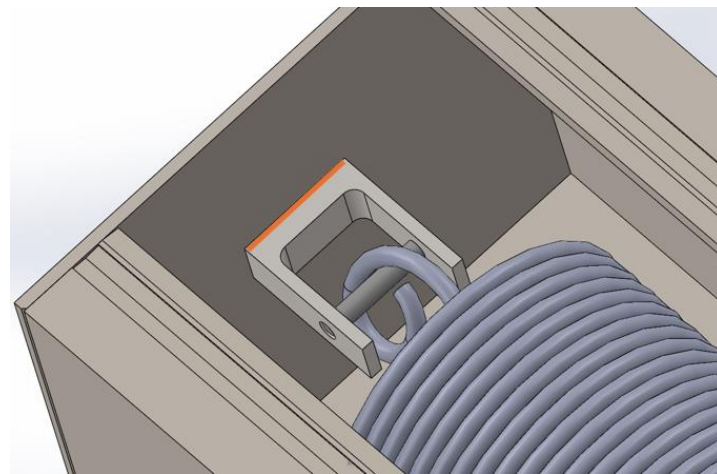
$$\sigma_{dop} = \frac{R_e}{S} = \frac{355}{2,5} = 142 \frac{\text{N}}{\text{mm}^2} \quad (81)$$

Reducirano naprezanje:

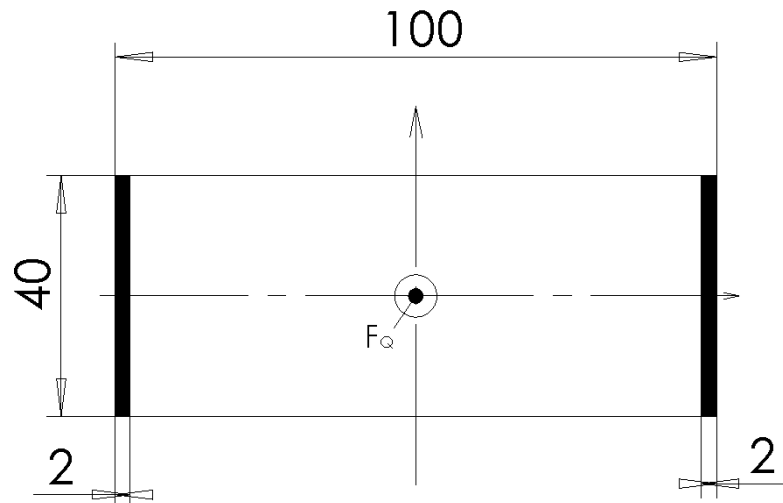
$$\sigma_{red} = \sqrt{(\sigma_v + \sigma_s)^2} = \sqrt{(0,55 + 1,67)^2} = 2,22 \frac{\text{N}}{\text{mm}^2} \quad (82)$$

Usporedbom dobivenih vrijednosti u jednadžbama (80) i (81), zaključuje se da naprezanje zadovoljava, odnosno da čeona ploča može izdržati naprezanja.

6.10. Provjera zavara između vilice i čeone ploče



Slika 28. Vilica zavarena na čeonu ploču



Slika 29. Opterećenje zavara

Iz Slike 29. vidi se da je zavar samo opterećen na vlačno naprezanje.

Vlačno naprezanje:

$$\sigma_v = \frac{F_Q}{A_{zav}} = \frac{2500}{2 \cdot 2 \cdot 40} = 15,625 \frac{\text{N}}{\text{mm}^2} \quad (83)$$

Za materijal St52-3 dopušteno naprezanje za kutni spoj zavara prema HRN U.E7.150 iznosi [2]:

$$\sigma_{dop} = 195 \frac{N}{mm^2} \quad (84)$$

Iz čega slijedi da je:

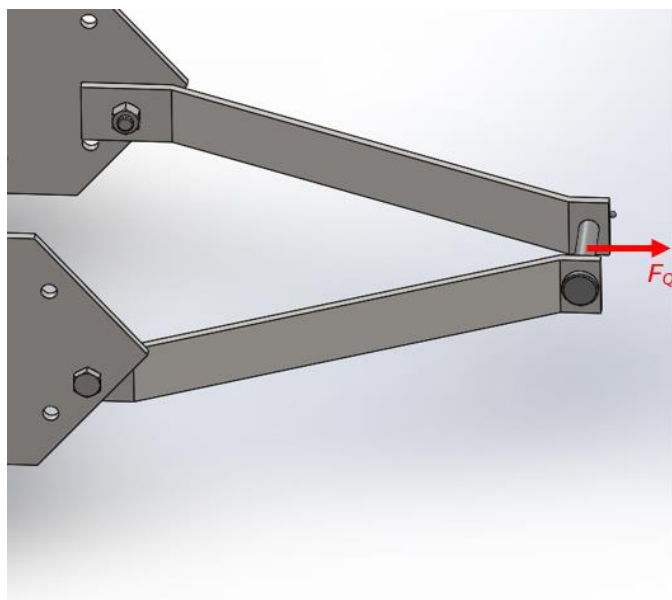
$$\sigma_v \leq \sigma_{dop} \quad (85)$$

$$15,625 \frac{N}{mm^2} \leq 195 \frac{N}{mm^2} \quad (86)$$

Zavar zadovoljava.

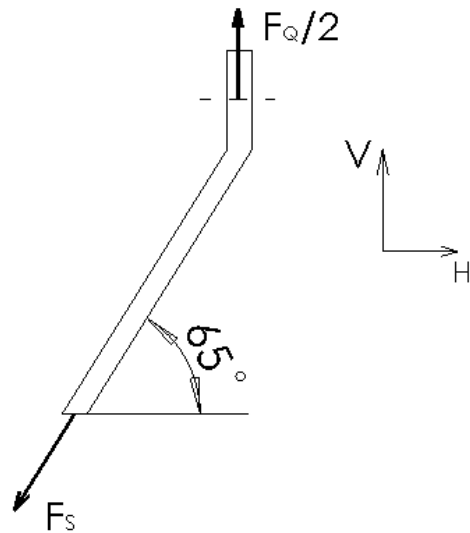
6.11. Kolica

6.11.1. Provjera čvrstoće vilice kolica



Slika 30. Opterećenje vilice kolica

Vilica kolica opterećena je na vlak. Budući da su dvije vilice koje podnose opterećenje, ono će se raspodijeliti.



Slika 31. Vlačno naprezanje vilice

Iz Slike 31. dobiva se da je:

$$\sum F_V = 0; -F_s \cdot \sin(65^\circ) + \frac{F_Q}{2} = 0$$

$$F_s = \frac{F_Q}{2 \cdot \sin(65^\circ)} = \frac{2500}{2 \cdot \sin(65^\circ)} = 1379,22 \text{ N} \quad (87)$$

Potrebno je dalje izračunati vlačno naprezanje:

$$\sigma_v = \frac{F_s}{A} = \frac{1379,22}{30 \cdot 4,5} = 10,22 \frac{\text{N}}{\text{mm}^2} \quad (88)$$

F_s ; sila u vilici,

$a = 30 \text{ mm}$; širina vilice,

$b = 4,5 \text{ mm}$; debljina vilice.

6.11.2. Provjera poprečno opterećenih vijaka vilice i kolica

Prikazani vijčani spoj opterećen je silom potezanja F_Q horizontalno prema desno, opterećen je poprečno. Budući da su dva vijka, sila potezanja će se raspodijeliti.

Vijčani spoj sadrži 2 vijka što znači da će sila u svakom vijku biti:

$$F_v = \frac{F_Q}{2} = \frac{2500}{2} = 1250 \text{ N} \quad (89)$$

Naprezanje na odrez:

$$\tau_a = \frac{F_v}{A} = \frac{1250}{\frac{10^2 \pi}{4}} = 15,92 \frac{\text{N}}{\text{mm}^2} \quad (90)$$

Naprezanje na bokove prvrta:

$$\sigma_l = \frac{F_v}{d \cdot s} = \frac{1250}{10 \cdot 5} = 25 \frac{\text{N}}{\text{mm}^2} \quad (91)$$

F_v u N; poprečna pogonska sila na jednom vijku,

τ_a u N/mm^2 ; naprezanje na odrez,

A u mm^2 ; mjerodavni presjek vijka ili drugih elemenata opterećenih na odrez,

σ_l u N/mm^2 ; naprezanje bokova prvrta,

d u mm; vanjski promjer nosećeg dijela vijka ili elemenata opterećenog na odrez,

s u mm; najmanja nosiva duljina na vijku ili elementu opterećenog na odrez.

Provjera čvrstoće:

Vijak M10 je čvrstoće 5.6 gdje je X = 5, a Y = 6.

Tablica 6. Oznake i svojstva čvrstoće čelika za vijke i matice prema DIN 267 [2]

Oznaka čelika za vijke	3.6	4.6	4.8	5.6	5.8	6.6	6.8	6.9	8.8	10.9	12.9	14.9
Minimalna čvrstoća na vjak σ_M	340	400	400	500	500	600	600	600	800	1000	1200	1400
Minimalna granica tečenja σ_T	200	240	320	300	400	360	480	540	640	900	1080	1260
Oznaka čelika za matice	4			5			6		8	10	12	14
Naprezanje pri ispitivanju σ_{vL}		400			500		600		800	1000	1200	1400
Djelomično još važeća oznaka		4 D			5 D	5 S		6 S	6 G	8 G	10 K	

Uzima se da je:

$$\sigma_M = 500 \frac{\text{N}}{\text{mm}^2} \quad (92)$$

$$\sigma_T = 300 \frac{\text{N}}{\text{mm}^2} \quad (93)$$

Dopuštena naprezanja:

$$\tau_{a,dop} = 0,6 \cdot \sigma_T = 0,6 \cdot 300 = 180 \frac{\text{N}}{\text{mm}^2} \quad (94)$$

$$\sigma_{l,dop} = 0,75 \cdot \sigma_M = 0,75 \cdot 500 = 375 \frac{\text{N}}{\text{mm}^2} \quad (95)$$

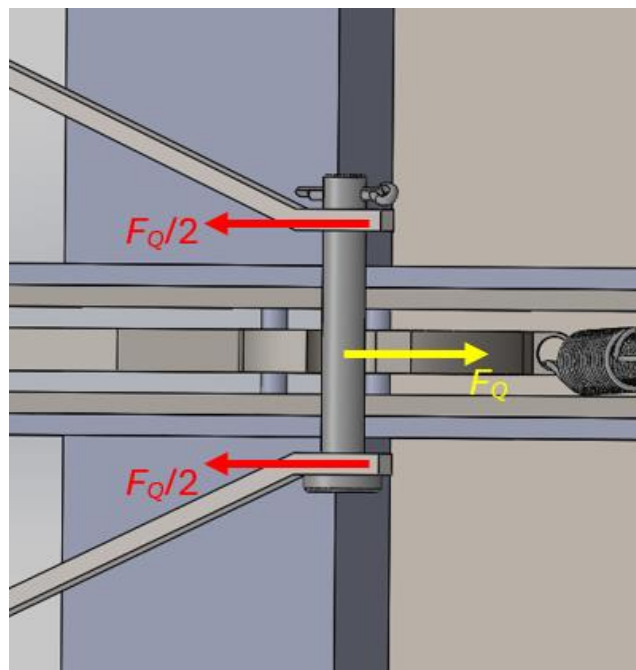
Usporedbom dobivenih vrijednosti:

$$\sigma_{l,dop} \geq \sigma_l \quad (96)$$

$$\tau_{a,dop} \geq \tau_a \quad (97)$$

Vidi se da vrijednosti zadovoljavaju uvjete.

6.11.3. Provjera čvrstoće svornjaka na spoju okidača i vilice kolica



Slika 32. Spoj okidača i vilice kolica - opterećenja

Vrijednosti potrebne za proračun:

$d = 10 \text{ mm}$; promjer svornjaka,

$a = 5 \text{ mm}$; širina vilice,

$b = 10 \text{ mm}$; širina okidača,

$F_Q = 2500 \text{ N}$; sila potezanja.

Površina poprečnog presjeka svornjaka:

$$A = \frac{d^2\pi}{4} = \frac{10^2\pi}{4} = 78,54 \text{ mm}^2 \quad (98)$$

Moment savijanja iznosi:

$$M_f = 0,5 \cdot F_Q \cdot 0,5 \cdot a = 0,5 \cdot 2500 \cdot 0,5 \cdot 5 = 3125 \text{ Nmm} \quad (99)$$

Naprezanje svornjaka uslijed savijanja:

$$\sigma_f = \frac{M_f}{0,1 \cdot d^3} = \frac{3125}{0,1 \cdot 10^3} = 31,25 \frac{\text{N}}{\text{mm}^2} \quad (100)$$

Smično naprezanje svornjaka:

$$\tau = \frac{F_Q}{2 \cdot A} = \frac{2500}{2 \cdot 78,54} = 15,92 \frac{\text{N}}{\text{mm}^2} \quad (101)$$

Za materijal svornjaka odabran je čelik St50-2. Dopušteno naprezanje na savijanje i odrez za odabrani materijal prema [2] iznosi:

$$\sigma_{f,dop} = 125 \frac{N}{mm^2} \rightarrow \sigma_{f,dop} \geq \sigma_f \quad (102)$$

$$\tau_{a,dop} = 72 \frac{N}{mm^2} \rightarrow \tau_{a,dop} \geq \tau_a \quad (103)$$

Svornjak zadovoljava.

Potrebno je još provjeriti površinski pritisak na nosač svornjaka.

Površinski pritisak na nosač iznosi:

$$p_v = \frac{F_Q}{2a \cdot d} = \frac{2500}{2 \cdot 5 \cdot 10} = 25 \frac{N}{mm^2} \quad (104)$$

$$p_u = \frac{F_Q}{b \cdot d} = \frac{2500}{10 \cdot 10} = 25 \frac{N}{mm^2} \quad (105)$$

Za konstrukcijski čelik E295 dopušteni pritisak [2] na nosač iznosi:

$$p_{v,dop} = p_{u,dop} = 30 \frac{N}{mm^2} \quad (106)$$

Iz čega slijedi da je:

$$p_{v,dop} \geq p_v \quad (107)$$

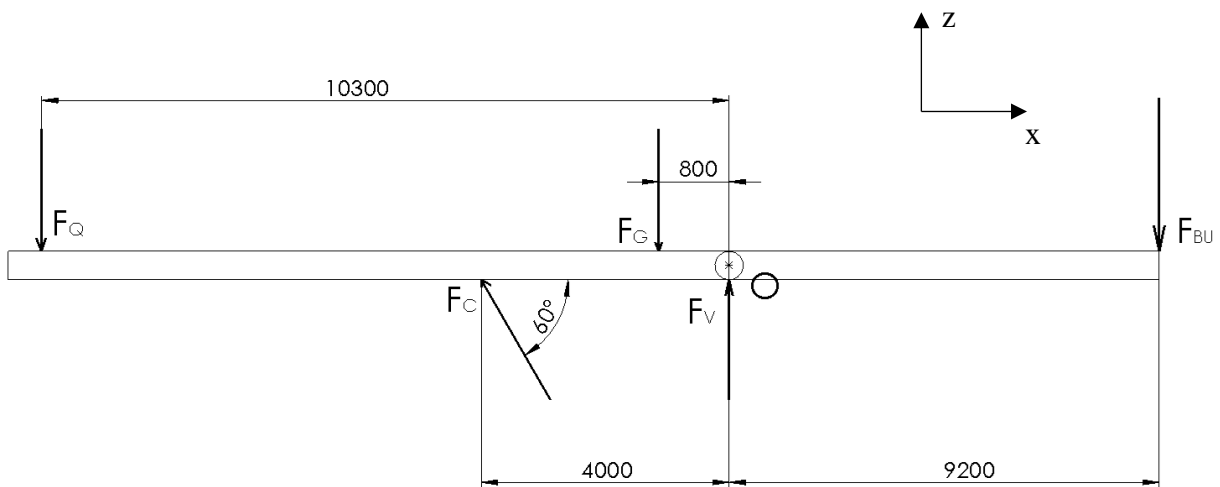
$$p_{u,dop} \geq p_u \quad (108)$$

Svornjak zadovoljava.

7. PRORAČUN NOSIVE KONSTRUKCIJE

Nosiva konstrukcija izrađuju se od čelika **St52-3**. Ova nosiva konstrukcija koja služi kao platforma za lansiranje dronova napravljena je u tri dijela te se može sklopiti radi lakšeg transporta. Sastavljanje je vrlo jednostavno i obavlja se ručno tako što se zakreće prednji i stražnji dio platforme uz pomoć šarki za 180° .

7.1. Platforma za lansiranje dronova



Slika 33. Statičke sile

Poznate vrijednosti:

$F_Q = 2500 \text{ N}$; sila potezanja ,

$F_G = 35000 \text{ N}$; težina platforme,

$F_{BU} = 200 \text{ N}$; težina sklopa bubenja,

$S = 2,5$; faktor sigurnosti.

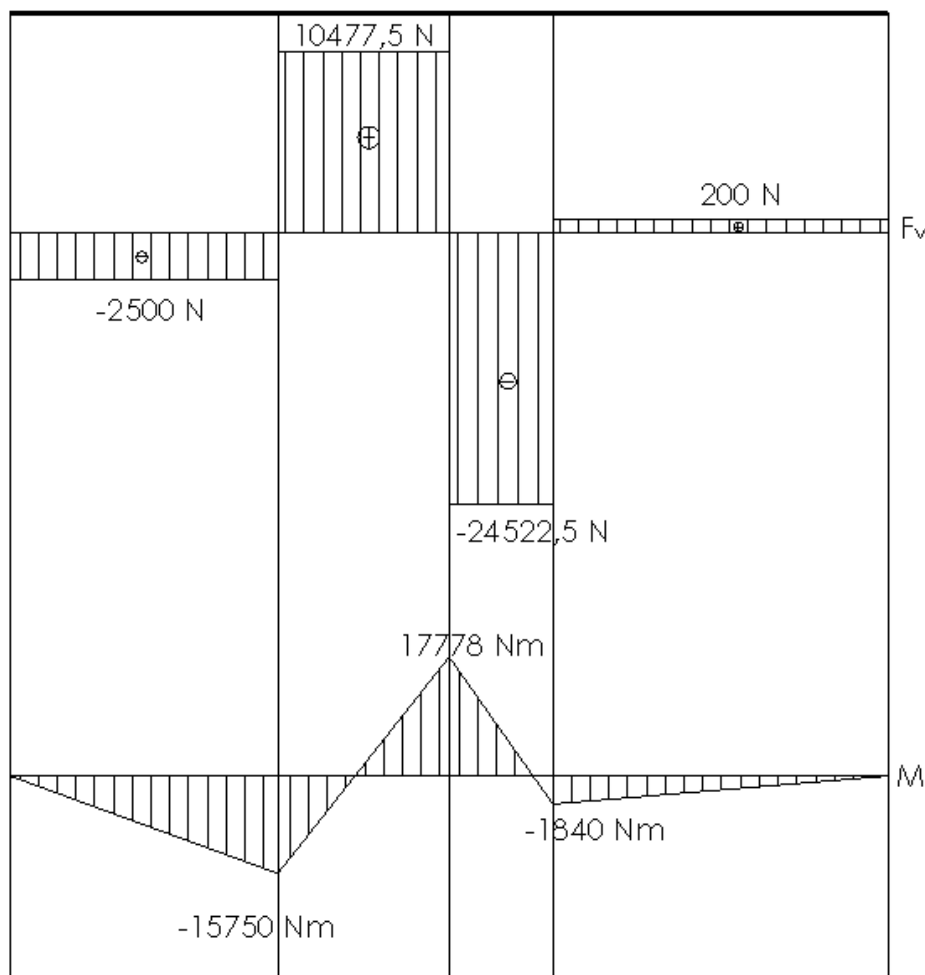
Raspisivanjem jednadžbe sume momenata oko točke O dobivamo:

$$\sum M_O = 0; F_Q \cdot 10300 + F_G \cdot 800 - F_{Cil} \cdot \sin 60^\circ \cdot 4000 - F_{BU} \cdot 9200 = 0$$

$$F_{Cil} = \frac{2500 \cdot 10300 + 35000 \cdot 800 - 200 \cdot 9200}{\sin 60^\circ \cdot 4000} = 14985,13 \text{ N} \quad (109)$$

Nakon što je izračunata reakcijska sila u osloncima, moguće je prikazati dijagrame poprečnih

i uzdužnih sila te momenata savijanja po konturi konstrukcije.



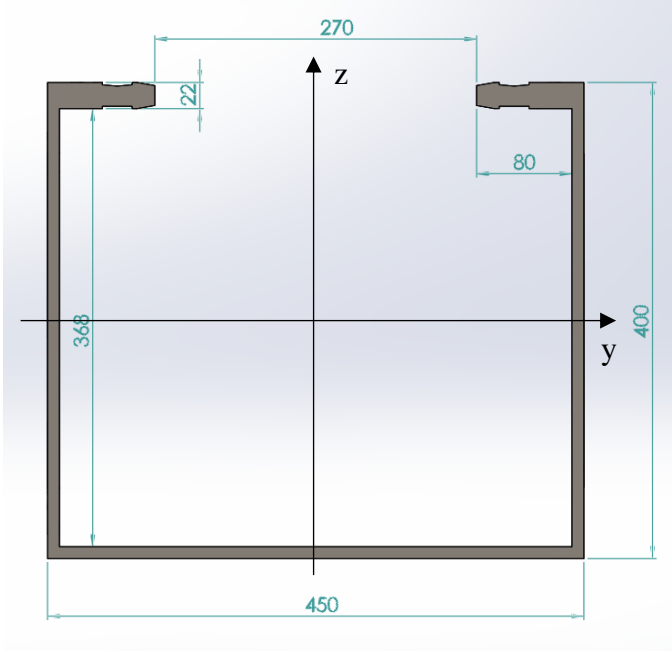
Slika 34. Dijagram poprečnih sila i momenata savijanja

7.1.1. Provjera čvrstoće platforme za lansiranje

Mehanička svojstva čelika St52-3.

Tablica 7. Mehanička svojstva St52-3

R_m – vlačna čvrstoća	470-630 MPa
R_e – granica razvlačenja	355 MPa
ρ – gustoća	7,850 kg/m ³
E – modul elastičnosti	210 GPa



Slika 35. Dimenziije poprečnog presjeka platforme

Naprezanje uslijed savijanja pri najvećem momentu iznosi:

$$\sigma_f = \frac{M_{y,max}}{I_y} \cdot y \leq \frac{\sigma_{f,dop}}{S} \quad (110)$$

Dopušteno naprezanje na savijanje:

$$\sigma_{dop} = \frac{R_e}{S} = \frac{355}{2,5} = 142 \frac{\text{N}}{\text{mm}^2} \quad (111)$$

Za moment tromosti, dimenzije se uzimaju iz Slike 35.:

$$I_y = \frac{450 \cdot 400^3}{12} - \frac{430 \cdot 368^3}{12} - \frac{270 \cdot 22^3}{12} = 613969273,3 \text{ mm}^4 \quad (112)$$

Najveća udaljenost od y osi:

$$y = 200 \text{ mm} \quad (113)$$

Naprezanje na savijanje:

$$\sigma_f = \frac{17778000}{613969273,3} \cdot 200 = 5,79 \frac{\text{N}}{\text{mm}^2} \quad (114)$$

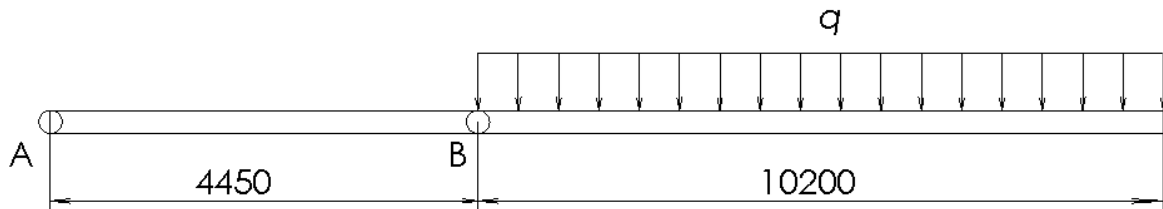
Provjera:

$$\sigma_f \leq \sigma_{dop} \quad (115)$$

$$5,79 \frac{\text{N}}{\text{mm}^2} \leq 142 \frac{\text{N}}{\text{mm}^2} \quad (116)$$

UVJET ZADOVOLJAVA**7.1.2. Provjera krutosti platforme [9]**

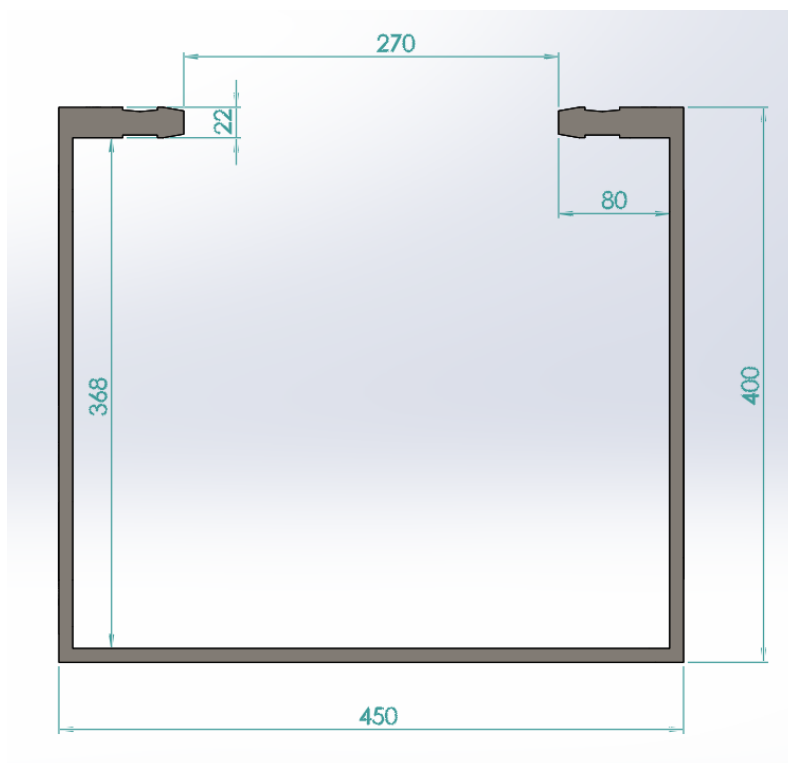
Provjera krutosti odnosi se na određivanje progiba platforme. Budući da su opterećenja na platformi vrlo mala, proračun će se svesti samo na progib s obzirom na vlastitu težinu.



Slika 36. Opterećenje na platformu – progib

Određivanje kontinuiranog opterećenja na platformu:

$$q = \frac{G_G}{L} = \frac{m \cdot g}{L} = \frac{\rho \cdot g \cdot A \cdot L}{L} = \rho \cdot g \cdot A \quad (117)$$



Slika 37. Dimenzije poprečnog presjeka platforme

Iz Slike 37. uzete su veličine za izračun površine poprečnog presjeka:

$$A = 450 \cdot 400 - 368 \cdot 430 - 270 \cdot 22 = 15820 \text{ mm}^2 = 0,01582 \text{ m}^2 \quad (118)$$

Vrijednosti ostalih veličina:

$\rho = 7850 \text{ kg/m}^3$; približna vrijednost gustoće čelika St52-3 [10],

$g = 9,81 \text{ m/s}^2$; ubrzanje zemljine sile teže.

Uvrštavanjem dobivenih vrijednosti u jednadžbu (83):

$$q = 7850 \cdot 9,81 \cdot 0,01582 = 1218,27 \frac{\text{N}}{\text{m}} \quad (119)$$

Određivanje progiba [9]:

$$f = \frac{q \cdot a^3 \cdot (4 \cdot l + 3 \cdot a)}{24 \cdot E \cdot I} \quad (120)$$

Vrijednosti iz Slike 28.:

$a = 10\ 200 \text{ mm}$,

$l = 4450 \text{ mm}$.

Vrijednosti za moment tromosti uzete su iz Slike 37. pa se dobiva da je moment tromosti platforme:

$$I = \frac{450 \cdot 400^3}{12} - \frac{430 \cdot 368^3}{12} - \frac{270 \cdot 22^3}{12} = 613969273,3 \text{ mm}^4 \quad (121)$$

$$I = 6,13969 \cdot 10^{-4} \text{ m}^4 \quad (122)$$

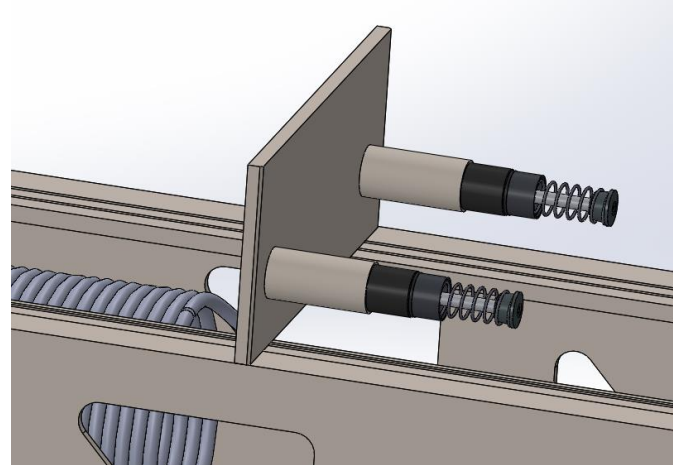
Zatim se određene vrijednosti uvrste u jednadžbu (84) i dobije se:

$$f = \frac{1218,27 \cdot 10,2^3 \cdot (4 \cdot 4,45 + 3 \cdot 10,2)}{24 \cdot 210 \cdot 10^9 \cdot 6,13969 \cdot 10^{-4}} = 0,02 \text{ m} = 20 \text{ mm} \quad (123)$$

S obzirom da je platforma dugačka 23,5 m, dobivena vrijednost progiba je zapravo zanemariva.

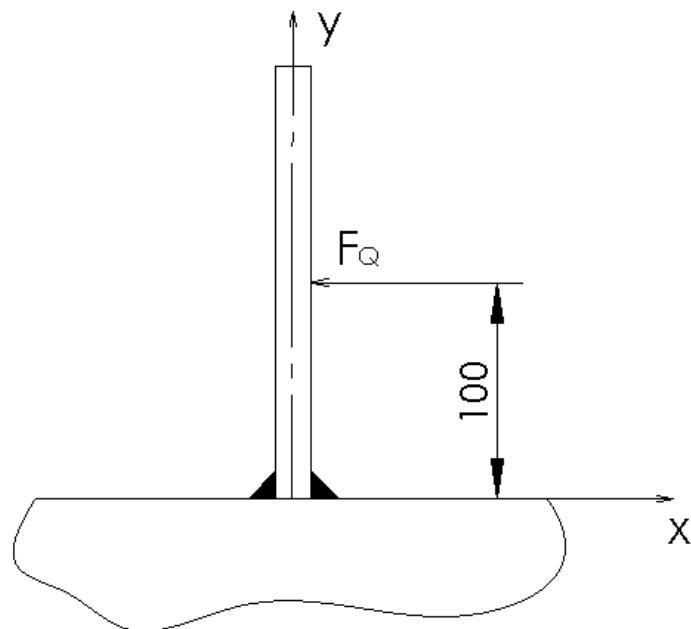
7.1.3. Provjera zavara

Zavar platforme i ploče s mehaničkim odbojnicima:

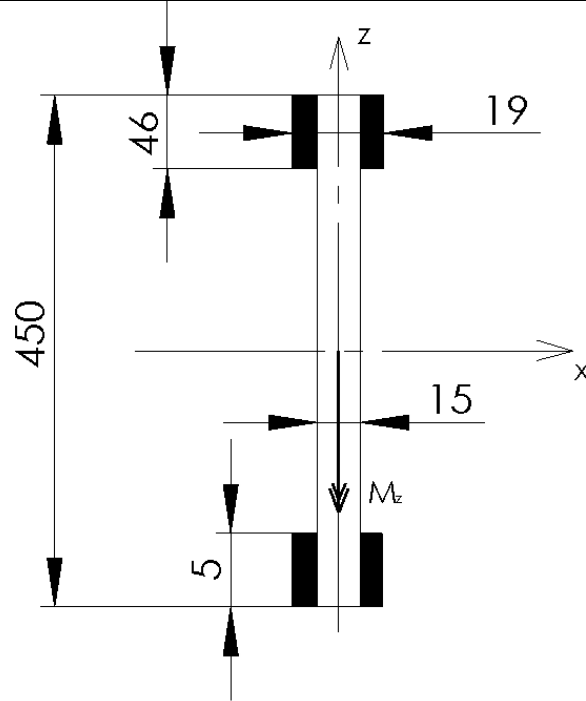


Slika 38. Zavar platforme i ploče

U ovom slučaju zavar je opterećen na savijanje.



Slika 39. Skica opterećenja



Slika 40. Proračunski presjek zavara

Dimenzije potrebne za proračun zavara uzete su iz Slike 40.

Površina zavara:

$$A_{zav} = 2 \cdot 46 \cdot 4 = 368 \text{ mm}^2 \quad (124)$$

Moment tromosti:

$$I_z = \frac{450 \cdot (15 + 2 \cdot 2)^3}{12} - \frac{450 \cdot 15^3}{12} - \frac{358 \cdot 2^3 \cdot 2}{12} = 130172,67 \text{ mm}^4 \quad (125)$$

Moment otpora:

$$W_z = \frac{I_z}{\frac{15}{2} + 2} = \frac{130172,67}{\frac{15}{2} + 2} = 13702,38 \text{ mm}^3 \quad (126)$$

Naprezanje na savijanje:

$$\sigma_s = \frac{F_Q \cdot l}{W_z} = \frac{2500 \cdot 100}{13702,38} = 18,25 \frac{\text{N}}{\text{mm}^2} \quad (127)$$

Reducirano naprezanje:

$$\sigma_{red} = \sigma_s = 18,25 \frac{\text{N}}{\text{mm}^2} \quad (128)$$

Za materijal St52-3 dopušteno naprezanje zavara za kutni spoj prema HRN U.E7.150 iznosi [2]:

$$\sigma_{dop} = 195 \frac{\text{N}}{\text{mm}^2} \quad (129)$$

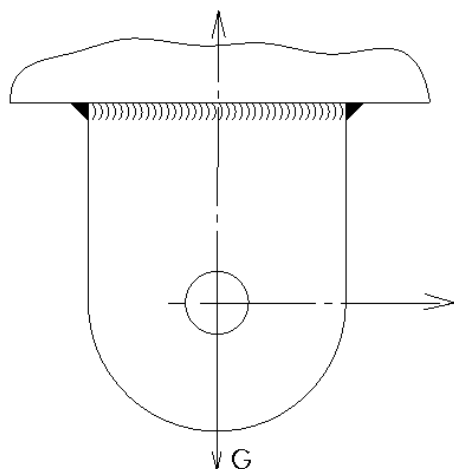
Iz čega slijedi da je:

$$\sigma_{red} \leq \sigma_{dop} \quad (130)$$

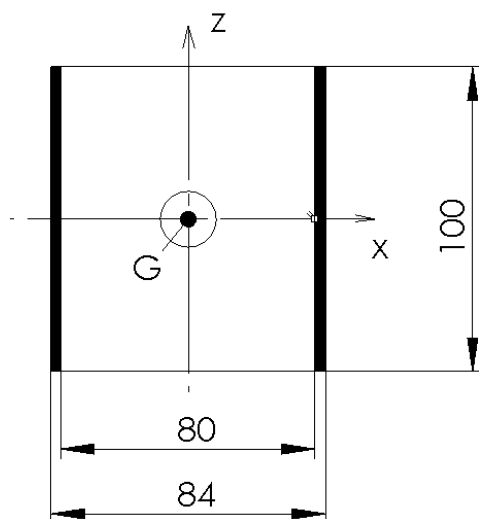
$$18,25 \frac{\text{N}}{\text{mm}^2} \leq 195 \frac{\text{N}}{\text{mm}^2} \quad (131)$$

UVJET ZADOVOLJAVA

Zavar platforme i spoja s klinom:



Slika 41. Skica opterećenja zavara



Slika 42. Proračunski presjek zavara

Zavar je opterećen samo na vlak.

Težina spoja sa svornjakom određena je iz konstrukcije, gdje je:

$G_1 = 25 \text{ N}$; težina nosača svornjaka,

$G_2 = 5 \text{ N}$; težina svornjaka.

$$G = G_1 + G_2 = 30 \text{ N} \quad (132)$$

Površina zavara:

$$A_{zav} = 2 \cdot 2 \cdot 100 = 400 \text{ mm}^2 \quad (133)$$

Vlačno naprezanje:

$$\sigma_v = \frac{G}{A_{zav}} = \frac{30}{400} = 0,075 \frac{\text{N}}{\text{mm}^2} \quad (134)$$

Za materijal St52-3 dopušteno naprezanje za kutni spoj zavara prema HRN U.E7.150 iznosi [2]:

$$\sigma_{dop} = 195 \frac{\text{N}}{\text{mm}^2} \quad (135)$$

Iz čega slijedi da je:

$$\sigma_v \leq \sigma_{dop} \quad (136)$$

$$0,075 \frac{\text{N}}{\text{mm}^2} \leq 195 \frac{\text{N}}{\text{mm}^2} \quad (137)$$

UVJET ZADOVOLJAVA

7.2. Zglobni spoj platforme i nosača osovine

Ovaj spoj omogućuje namještanje kuta lansiranja drona te sastoji se od osovine, platforme i nosača osovine koji se fiksira na oklopno vozilo. Hidraulički cilindar omogućuje rotaciju oko ovog zglobnog spoja



Slika 43. Zglobni spoj

7.2.1. Osovina

Opterećenja koja djeluju na ovaj zglobni spoj su:

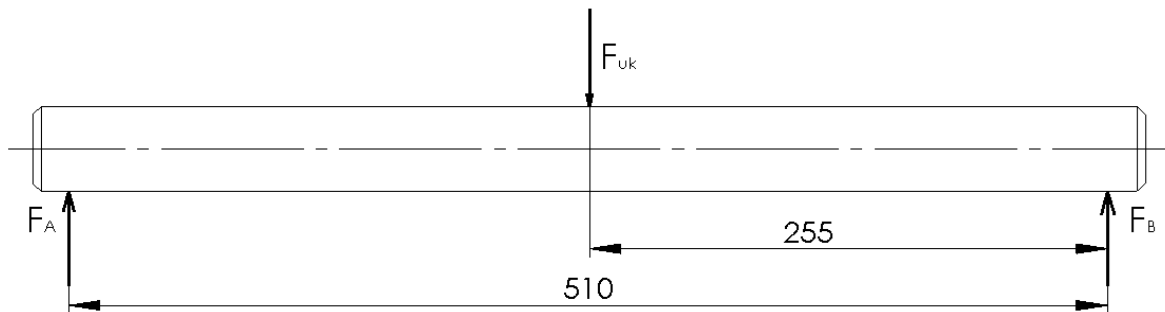
Težina platforme za lansiranje: $F_G = 35\ 000 \text{ N}$,

Najveća težina pri polijetanju: $F_Q = 2500 \text{ N}$.

Težina sklopa bubenja: $F_{BU} = 200 \text{ N}$.

Iz čega slijedi da je:

$$F_{uk} = F_G + F_Q + F_{BU} = 35000 + 2500 + 200 = 37700 \text{ N} \quad (138)$$



Slika 44. Opterećenje na osovini

Potrebno je odrediti reakcije u osloncima na krajevima osovine:

$$\sum F_v = 0; F_A + F_B - F_{uk} = 0 \quad (139)$$

Iz skice vidimo da je $F_A = F_B$. Iz čega slijedi:

$$2 \cdot F_A = F_{uk} = 37700 \text{ N} \quad (140)$$

$$F_A = F_B = 18850 \text{ N}$$

(141)

Potrebna je velika čvrstoća osovine zbog velikih sila, stoga se uzima da je materijal osovine 42CrMo4. Dopušteno naprezanje određuje se prema Haberhauer i Bodensteinu [4].

$$\sigma_{f,dop} = \frac{\sigma_{f,DI}}{3} = \frac{800}{3} = 266,67 \frac{\text{N}}{\text{mm}^2} \quad (142)$$

Određivanje promjera osovine koja će izdržati naprezanje.

Najveći moment na osovini:

$$M = F_{uk} \cdot 255 = 37700 \cdot 255 = 9613500 \text{ Nmm} \quad (143)$$

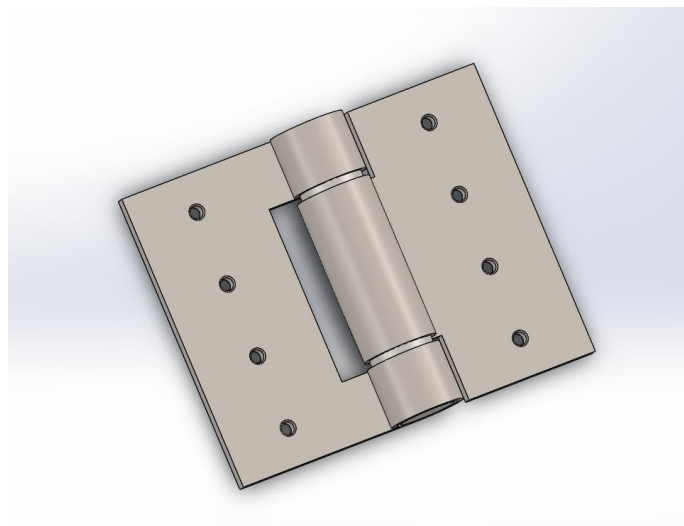
Promjer osovine:

$$d = \sqrt[3]{\frac{10 \cdot M}{\sigma_{f,dop}}} = \sqrt[3]{\frac{10 \cdot 9613500}{266,67}} = 78,19 \text{ mm} \quad (144)$$

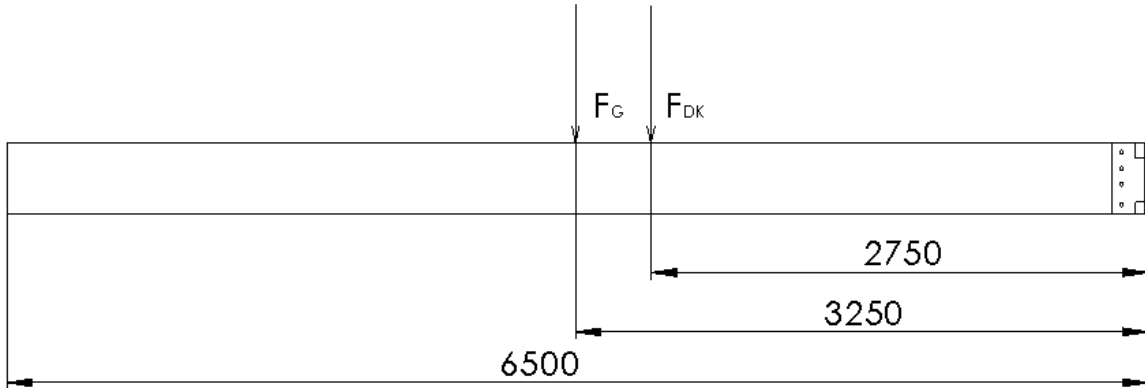
Odabrano je: $d = 80 \text{ mm}$.

7.3. Dimenzioniranje šarke

Šarke su mehanički spojevi koji omogućavaju rotaciju ili pokret između dva povezana objekta. Služe za zakretanje prednjeg i stražnjeg dijela platforme za lansiranje drona. Sastoji se od osovina i dva lista (krila).



Slika 45. Model šarke



Slika 46. Opterećenje na šarku

Potrebno je izračunati promjer osovine koji će izdržati opterećenje koje izaziva platforma.

Vrijednosti sila sa Slike 46.:

$F_G = 9000 \text{ N}$; težina grede odnosno prednjeg dijela platforme (težina određena iz SolidWorks),

$F_{DK} = 2500 \text{ N}$; težina drona i kolica (zadano u zadatku).

Moment koji radi sila F_G i F_Q oko osovine šarke:

$$M = F_G \cdot 3250 + F_Q \cdot 2750 = 9000 \cdot 3250 + 2500 \cdot 2750 = 36125000 \text{ Nmm} \quad (145)$$

Dopušteno naprezanje za dinamički istosmjerno opterećenje za materijal 42CrMo4 [4]:

$$\sigma_{f,dop} = \frac{\sigma_{f,DI}}{3} = \frac{800}{3} = 266,67 \frac{\text{N}}{\text{mm}^2} \quad (146)$$

Određivanje promjera osovine koja će izdržati opterećenje:

$$d = \sqrt[3]{\frac{10 \cdot M}{\sigma_{f,dop}}} = \sqrt[3]{\frac{10 \cdot 36125000}{266,67}} = 110,65 \text{ mm} \quad (147)$$

Odobrani promjer koji će izdržati opterećenja je $d = 115 \text{ mm}$, a duljina osovine određena je iz konstrukcije te iznosi $l = 400 \text{ mm}$.

7.4. Hidraulički cilindar

Hidraulički se cilindri koriste radi namještanja kuta lansiranja dronova. Glavni dijelovi hidrauličkog cilindra su: cijev cilindra, klip, klipnjača, poklopci koji zatvaraju cilindre. Odabran je kut lansiranja od 10° . Pri kutu zakreta platforme od 0° , hidraulički cilindar postavljen je pod kutom od 60° .

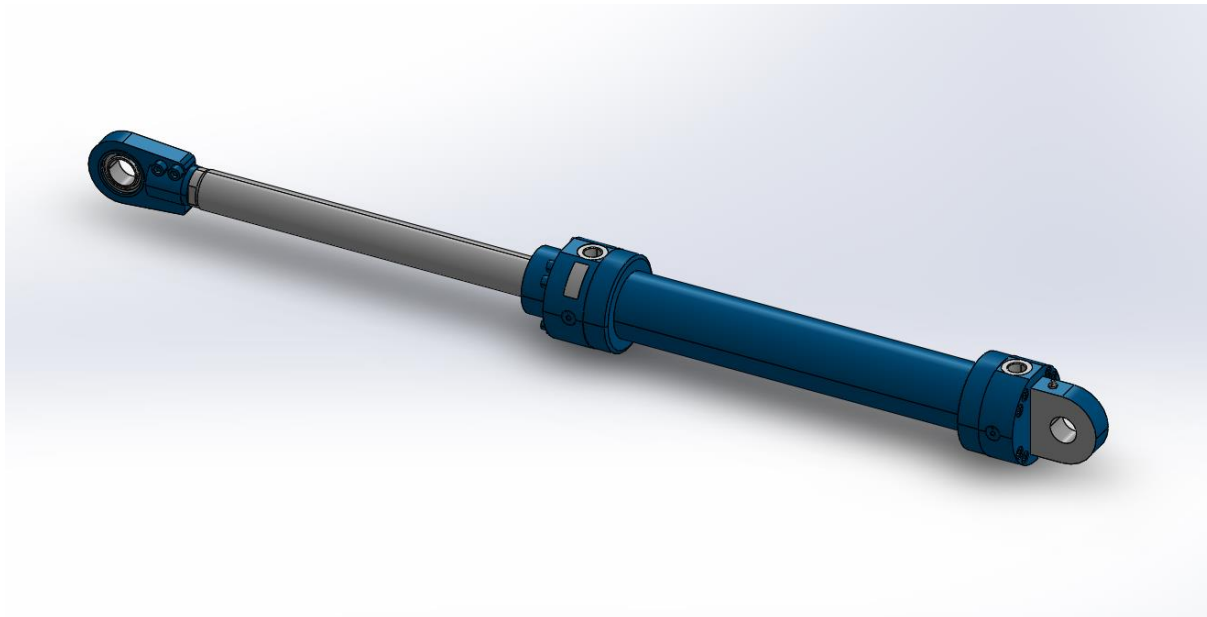
Sila u cilindru iz prethodnog proračuna iznosi::

$$F_{cil} = 14985,13 \text{ N} \quad (148)$$

Na temelju maksimalne sile u cilindru i ugradbenih dimenzija odabran je hidraulički cilindar proizvođača Bosch Rexroth.

Tablica 8. Karakteristike hidrauličkog cilindra

Naziv cilindra	CDH1MP3/80/56/500A3X/B11CSUMZ
Nazivni tlak p	100 bar
Duljina uvučenom položaju r_{min}	1100 mm
Hod cilindra Δr	300 mm
Promjer klipa D	60 mm
Promjer klipnjače d_k	36 mm
Modul elastičnosti E	210 000 N/mm ²



Slika 47. Hidraulički cilindar

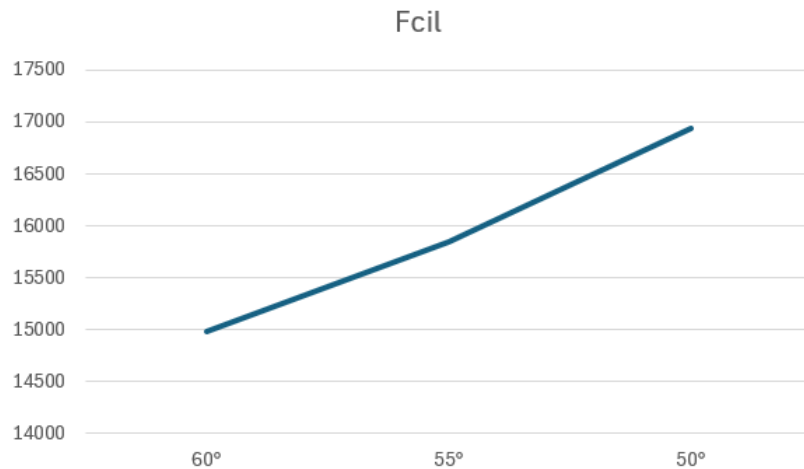
Maksimalna sila koju hidraulički cilindar može ostvariti pri nazivnom tlaku iznosi:

$$F_{cil,naz} = p \cdot A_{klip} = p \cdot \frac{D^2\pi}{4} = 100 \cdot 10^5 \cdot \frac{0,06^2\pi}{4} = 28274,33 \text{ N} \quad (149)$$

$$F_{cil,max} < F_{cil,naz} \rightarrow \text{Hidraulički cilindar zadovoljava}$$

Usporedbom potrebne i moguće maksimalne sile u cilindru može se zaključiti da cilindar zadovoljava traženu силу.

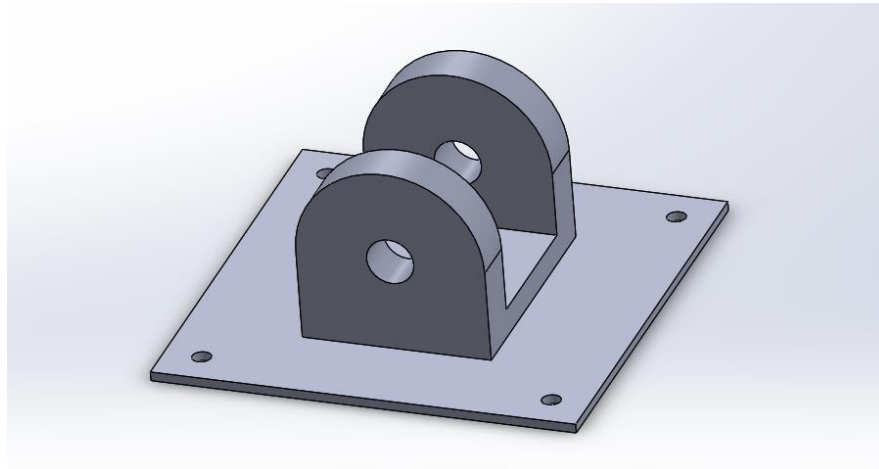
Za hidraulički cilindar izrađen je dijagram koji prikazuje ovisnost sile u cilindru i kuta cilindra s obzirom na platformu za lansiranje.



Slika 48. Ovisnost sile u cilindru o kutu između cilindra i platforme

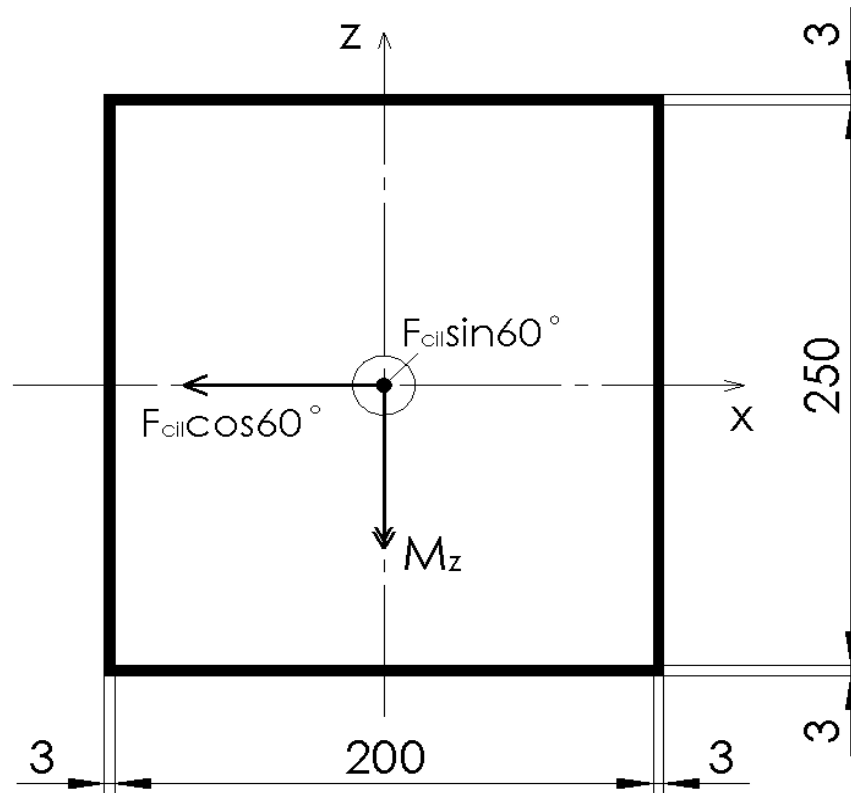
Iz dijagrama se uočava da sila u cilindru raste s obzirom na smanjenje kuta između cilindra i platforme, odnosno sila u cilindru raste tijekom podizanja platforme za lansiranje.

7.4.1. Zavar postolja i nosača osovine



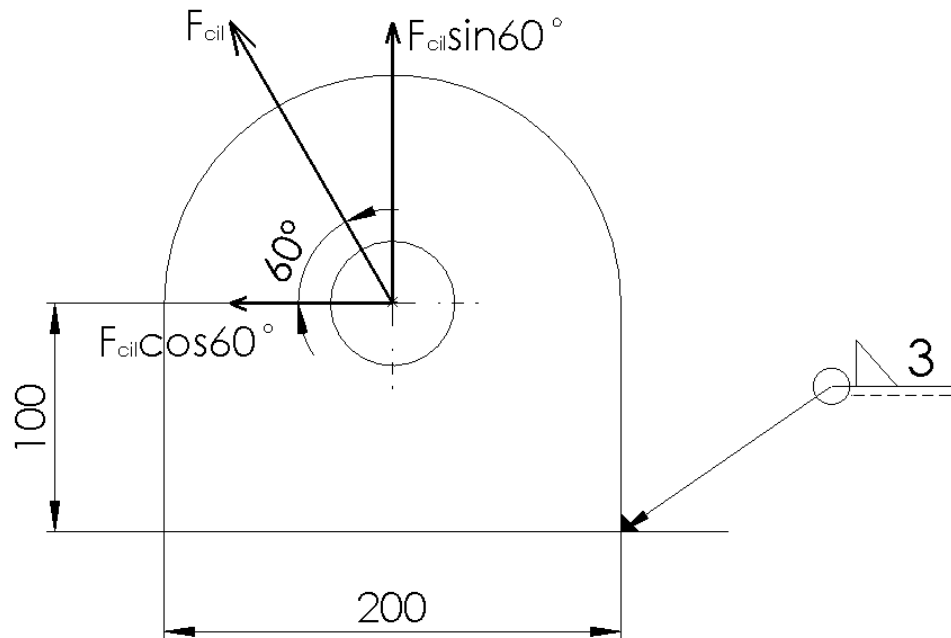
Slika 49. Zavar postolja i nosača svornjaka

Priložena Slika 49. pokazuje postolje i nosač svornjaka gdje se nosač svornjaka zavaruje na postolje te se koristi kutni zavar.



Slika 50. Proračunski presjek zavara

Zavar je opterećen na savijanje, smik te vlek i u dalnjem će se proračunu usporediti s dopuštenim naprezanjem u zavaru.



Slika 51. Opterećenje nosača svornjaka

Sve vrijednosti u dalnjem proračunu uzete su sa Slike 50. i 51.

Moment koji radi horizontalna sila u cilindru:

$$M_z = F_{cil} \cdot \cos 60^\circ \cdot 100 = 15516,29 \cdot \cos 60^\circ \cdot 100 = 775814,5 \text{ Nmm} \quad (150)$$

Naprezanje:

$$\sigma_s = \frac{M_z}{W_z} = \frac{775814,5}{192479,69} = 4,03 \frac{\text{N}}{\text{mm}^2} \quad (151)$$

$$W_z = \frac{I_z}{103} = \frac{19825408}{103} = 192479,69 \text{ mm}^3 \quad (152)$$

$$I_z = \frac{256 \cdot 206^3}{12} - \frac{250 \cdot 200^3}{12} = 19825408 \text{ mm}^4 \quad (153)$$

Vlak:

$$\sigma_v = \frac{F_{cil} \cdot \sin 60^\circ}{A_z} = \frac{15516,29 \cdot \sin 60^\circ}{206 \cdot 256 - 200 \cdot 250} = 4,91 \frac{\text{N}}{\text{mm}^2} \quad (154)$$

Smik:

$$\tau_{II} = \frac{F_{cil} \cdot \cos 60^\circ}{2 \cdot 3 \cdot 206} = \frac{15516,29 \cdot \cos 60^\circ}{2 \cdot 3 \cdot 206} = 6,28 \frac{\text{N}}{\text{mm}^2} \quad (155)$$

Reducirano naprezanje:

$$\sigma_{red} = \sqrt{(\sigma_s + \sigma_v)^2 + 3 \cdot \tau_{II}^2} = \sqrt{(4,03 + 4,91)^2 + 3 \cdot 6,28^2} = 14,08 \frac{\text{N}}{\text{mm}^2} \quad (156)$$

Za materijal St52-3 dopušteno naprezanje zavara za kutni spoj prema HRN U.E7.150 iznosi [2]:

$$\sigma_{dop} = 195 \frac{\text{N}}{\text{mm}^2} \quad (157)$$

$$\sigma_{red} \leq \sigma_{dop} \quad (158)$$

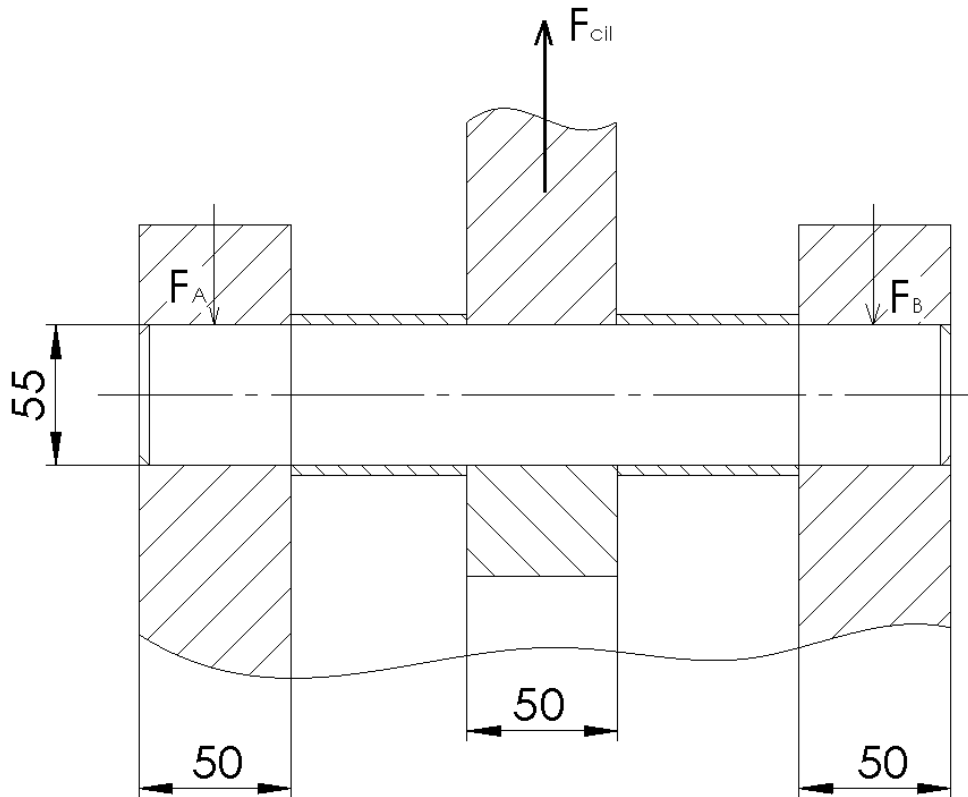
$$14,08 \frac{\text{N}}{\text{mm}^2} \leq 240 \frac{\text{N}}{\text{mm}^2} \quad (159)$$

UVJET ZADOVOLJAVA

7.4.2. Provjera svornjaka hidrauličkog cilindra i nosača

Za provjeru svornjaka u osloncu A uzimat će se maksimalna sila koja se pojavljuje u tom osloncu:

$$F_{cil} = 14985,13 \text{ N}$$



Slika 52. Opterećenje svornjaka

Vrijednosti potrebne za proračun:

$$d = 55 \text{ mm}, t = 50 \text{ mm},$$

Površina presjeka:

$$A = \frac{d^2 \pi}{4} = \frac{55^2 \pi}{4} = 2375,83 \text{ mm}^2 \quad (125)$$

Moment savijanja iznosi:

$$M_f = 0,5 \cdot F_{cil} \cdot 0,5 \cdot t = 0,5 \cdot 14985,13 \cdot 0,5 \cdot 50 = 187314,125 \text{ Nmm} \quad (126)$$

Naprezanje svornjaka uslijed savijanja:

$$\sigma_f = \frac{M_f}{0,1 \cdot d^3} = \frac{187314,125}{0,1 \cdot 55^3} = 11,26 \frac{\text{N}}{\text{mm}^2} \quad (127)$$

Smično naprezanje svornjaka:

$$\tau = \frac{F_{cil}}{2 \cdot A} = \frac{14985,13}{2 \cdot 706,86} = 10,59 \frac{\text{N}}{\text{mm}^2} \quad (128)$$

Za materijal svornjaka odabran je čelik St50-2. Dopušteno naprezanje na savijanje i odrez za odabrani materijal prema [2] iznosi:

$$\sigma_{f,dop} = 125 \frac{\text{N}}{\text{mm}^2} \rightarrow \sigma_{f,dop} \geq \sigma_f \quad (129)$$

$$\tau_{a,dop} = 72 \frac{\text{N}}{\text{mm}^2} \rightarrow \tau_{a,dop} \geq \tau_a \quad (130)$$

Svornjak zadovoljava.

Potrebno je još provjeriti površinski pritisak na nosač svornjaka.

Površinski pritisak na nosač iznosi:

$$p_v = \frac{F_{cil}}{2t \cdot d} = \frac{14985,13}{2 \cdot 50 \cdot 55} = 2,72 \frac{\text{N}}{\text{mm}^2} \quad (131)$$

$$p_u = \frac{F_{cil}}{b \cdot d} = \frac{14985,13}{50 \cdot 55} = 5,45 \frac{\text{N}}{\text{mm}^2} \quad (132)$$

Za konstrukcijski čelik St50-2 dopušteni pritisak [2] na nosač iznosi:

$$p_{v,dop} = p_{u,dop} = 30 \frac{\text{N}}{\text{mm}^2} \quad (133)$$

Iz čega slijedi da je:

$$p_{v,dop} \geq p_v \quad (134)$$

$$p_{u,dop} \geq p_u \quad (135)$$

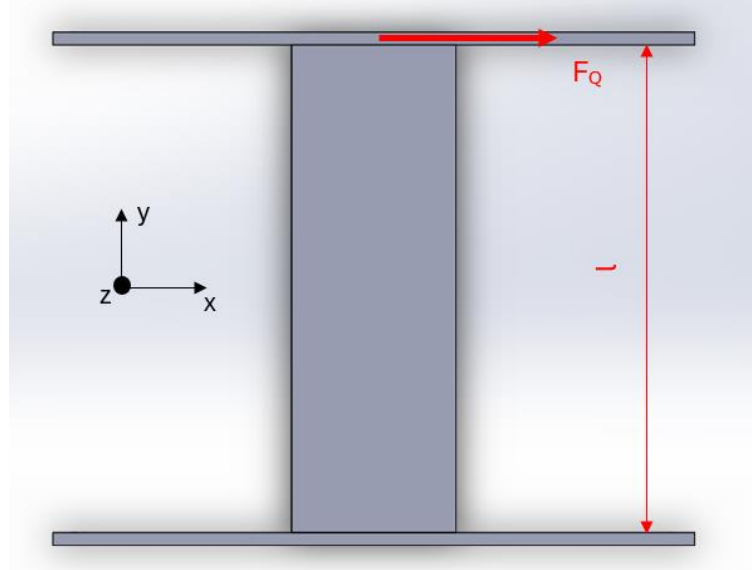
Svornjak zadovoljava.

7.5. Potpora greda za okidač

Kao potpora greda koristi se I profil te je zavaren za pločicu koja je vijčanim spojem spojena na platformu za lansiranje te je okidač vijčanim spojevima spojen na potporu gredu preko pločice.

7.5.1. Provjera čvrstoće potporne grede

Potporna greda je kvadratnog profila s dimenzijama 120x65 s debljinom stijenke od 5 mm.



Slika 53. Opterećenje potporne grede

Sila F_Q uzrokuje savijanje potporne grede, tako da će vrijednost najvećeg momenta na potpornoj gredi iznositi:

$$M_z = F_Q \cdot l = 2500 \cdot 210 = 525000 \text{ Nmm} \quad (136)$$

Naprezanje na savijanje:

$$\sigma_f = \frac{M_z}{I_z} \cdot z \quad (137)$$

Moment tromosti:

$$I_z = \frac{120 \cdot 65^3 - 110 \cdot 55^3}{12} = 1221145,83 \text{ mm}^4 \quad (138)$$

Najveća udaljenost od osi z:

$$z = 32,5 \text{ mm} \quad (139)$$

Uvrštavanjem vrijednosti u jednadžbu (61):

$$\sigma_f = \frac{525000}{1221145,83} \cdot 32,5 = 13,97 \frac{\text{N}}{\text{mm}^2} \quad (140)$$

Dopušteno naprezanje na savijanje:

$$\sigma_{dop} = \frac{R_e}{S} = \frac{355}{2,5} = 142 \frac{\text{N}}{\text{mm}^2} \quad (141)$$

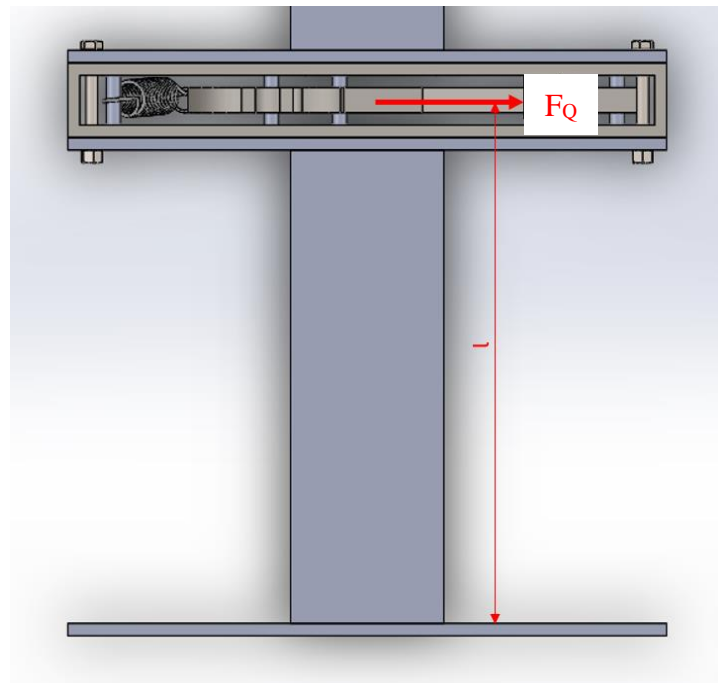
Usporedbom dobivenih vrijednosti:

$$\sigma_f \leq \sigma_{dop} \quad (142)$$

$$13,97 \frac{\text{N}}{\text{mm}^2} \leq 142 \frac{\text{N}}{\text{mm}^2} \quad (143)$$

UVJET ZADOVOLJAVA

7.5.2. Provjera zavara



Slika 54. Skica opterećenja na zavar

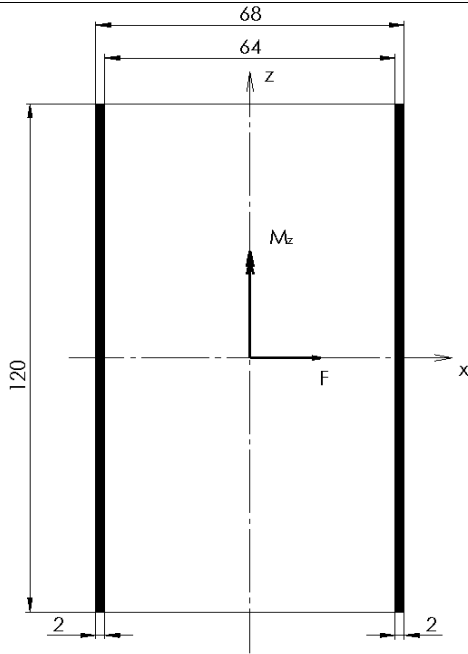
Poznate vrijednosti:

$F_Q = 2500 \text{ N}$; sila potrebna za lansiranje

$l = 210 \text{ mm}$; udaljenost od zavara

Moment koji radi sila F_Q :

$$M_z = F_Q \cdot l = 2500 \cdot 210 = 525000 \text{ Nmm} \quad (144)$$



Slika 55. Proračunski presjek zavara

Vrijednosti za daljnji proračun uzete su iz Slike 55.

Moment otpora:

$$W_z = \frac{I_z}{\bar{z}} = \frac{522880}{34} = 15378,82 \text{ mm}^3 \quad (145)$$

$$I_z = \frac{120 \cdot 68^3 - 120 \cdot 64^3}{12} = 522880 \text{ mm}^4 \quad (146)$$

Naprezanje zavara na savijanje:

$$\sigma_f = \frac{M_z}{I_z} = \frac{525000}{15378,82} = 34,14 \frac{\text{N}}{\text{mm}^2} \quad (147)$$

Reducirano naprezanje:

$$\sigma_{red} = \sigma_f = 34,14 \frac{\text{N}}{\text{mm}^2} \quad (148)$$

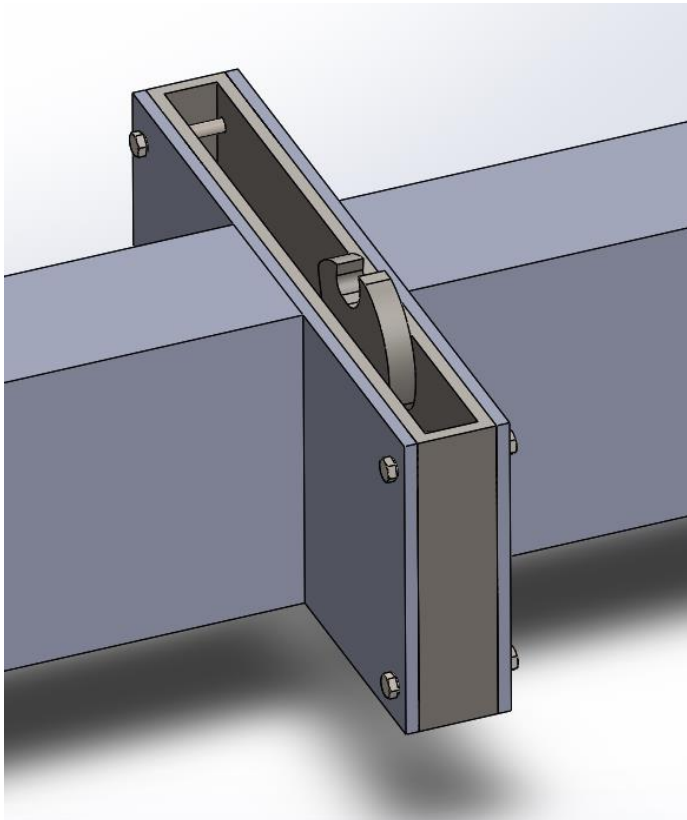
Za materijal St52-3 dopušteno naprezanje zavara za kutni spoj prema HRN U.E7.150 iznosi [2]:

$$\sigma_{dop} = 195 \frac{\text{N}}{\text{mm}^2} \quad (149)$$

$$\sigma_{red} \leq \sigma_{dop}$$

$$34,14 \frac{\text{N}}{\text{mm}^2} \leq 240 \frac{\text{N}}{\text{mm}^2} \quad (150)$$

7.5.3. Proračun vijčanog spoja okidača



Slika 56. Vijčani spoj okidača i potpornog nosača

Prikazani vijčani spoj sadrži 4 vijke što znači da će sila u svakom vijku biti:

$$F_v = \frac{F_Q}{4} = \frac{2500}{4} = 625 \text{ N} \quad (151)$$

Naprezanje na odrez:

$$\tau_a = \frac{F_v}{A} = \frac{625}{\frac{5^2\pi}{4}} = 31,83 \frac{\text{N}}{\text{mm}^2} \quad (152)$$

Naprezanje na bokove prvrta:

$$\sigma_l = \frac{F_v}{d \cdot s} = \frac{625}{5 \cdot 20} = 6,25 \frac{\text{N}}{\text{mm}^2} \quad (153)$$

F_v u N; poprečna pogonska sila na jednom vijku,

τ_a u N/mm^2 ; naprezanje na odrez,

A u mm^2 ; mjerodavni presjek vijke ili drugih elemenata opterećenih na odrez,

σ_l u N/mm^2 ; naprezanje bokova prvrta,

d u mm; vanjski promjer nosećeg dijela vijke ili elemenata opterećenog na odrez,

s u mm; najmanja nosiva duljina na vijku ili elementu opterećenog na odrez.

Provjera čvrstoće:

Vijak M10 je čvrstoće 5.6 gdje je X = 5, a Y = 6.

Uzima se da je:

$$\sigma_M = 500 \frac{\text{N}}{\text{mm}^2} \quad (154)$$

$$\sigma_T = 300 \frac{\text{N}}{\text{mm}^2} \quad (155)$$

Dopuštena naprezanja:

$$\tau_{a,dop} = 0,6 \cdot \sigma_T = 0,6 \cdot 300 = 180 \frac{\text{N}}{\text{mm}^2} \quad (156)$$

$$\sigma_{l,dop} = 0,75 \cdot \sigma_M = 0,75 \cdot 500 = 375 \frac{\text{N}}{\text{mm}^2} \quad (157)$$

Usporedbom dobivenih vrijednosti:

$$\sigma_{l,dop} \geq \sigma_l \quad (158)$$

$$\tau_{a,dop} \geq \tau_a \quad (159)$$

Vidimo da vrijednosti zadovoljavaju uvjete.

8. ZAKLJUČAK

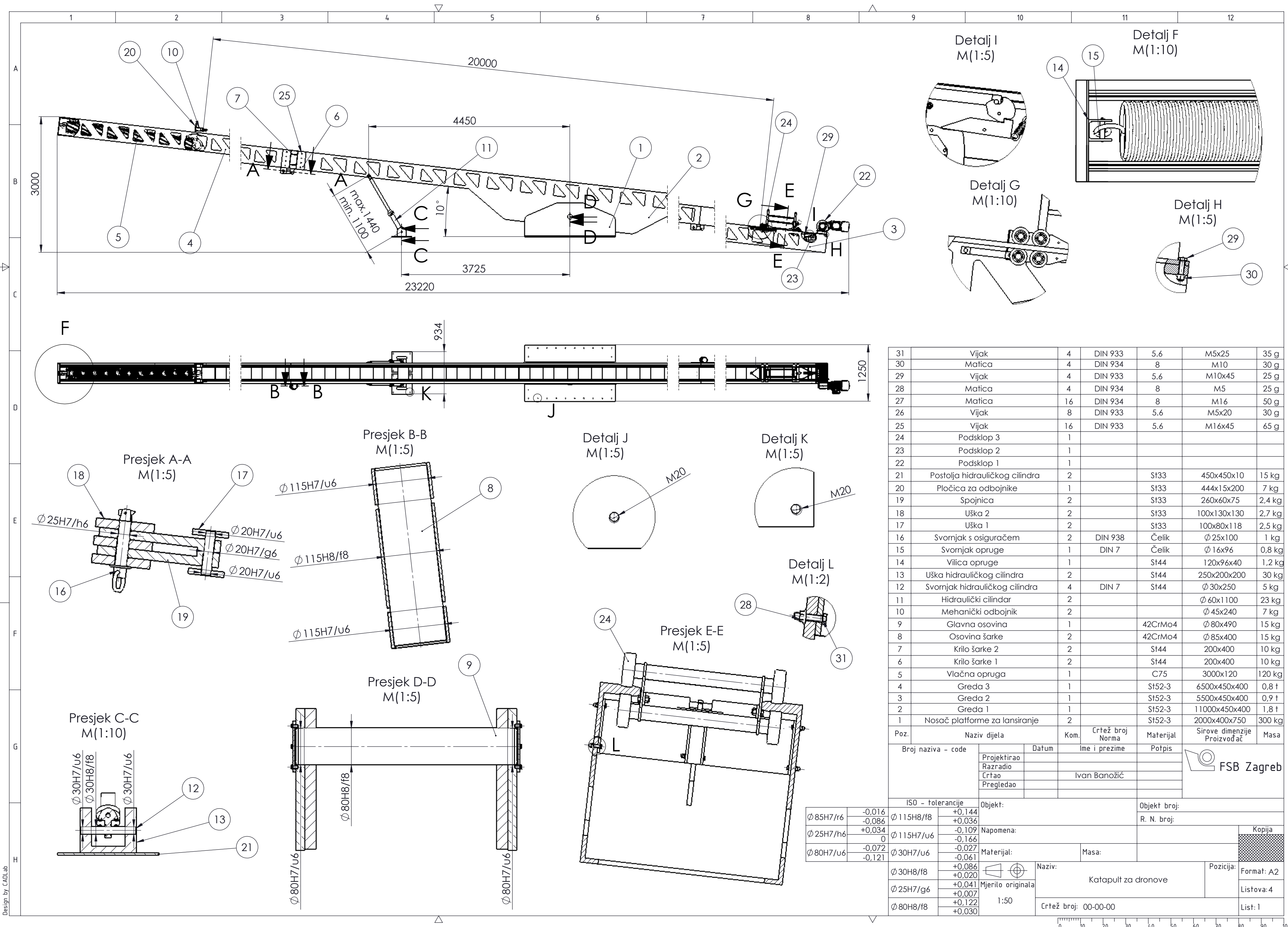
Zadatak ovog završnog rada bio je konstruirati katapult za dronove s uvodnim podacima: najveća masa pri polijetanju $Q = 250$ kg, brzina u trenutku napuštanja katapulta $v = 20$ m/s, najveće dopušteno ubrzanje pri polijetanju $a = 10$ m/s². Nakon uvodnog dijela u kojem su navedene vrste dronova i primjeri dronova te postojeća konstrukcijska rješenja postavljeni su zahtjevi koje katapult mora zadovoljiti. Na temelju tih zahtjeva izrađena su 3 konceptualna rješenja gdje se nakon vrednovanja koncept 2 vodio u daljnju konstrukcijsku razradu. Koncept 2 odabran je prvenstveno jer je vrlo jednostavan princip lansiranja pomoću opruge te natezanja pomoću sajle. U konstrukcijskoj razradi prikazan je smještaj svih komponenti te proračun na savijanje, vlak, tlak te proračun zavara i vijčanog spoja. Glavne cjeline katapulta su mehanizam za natezanje opruge koji se sastoji od sajle, bubenja, elektromotora te vlačne opruge koja je zakvačena za kraj platforme katapulta te se zatim zakvači na kolica koja se vode po platformi za lansiranje. Također osigurano je vođenje kolica pomoću kotača s gornje i donje strane staze te je tako onemogućeno iskakanje kolica s platforme prilikom sudara s mehaničkim odbojnicima. Kod svih dijelova katapulta vodilo se računa o ekonomičnosti i funkcionalnosti. Svi su dijelovi konstrukcije provjereni te je krajnje rješenje potpuno u skladu s uvjetima krutosti i čvrstoće.

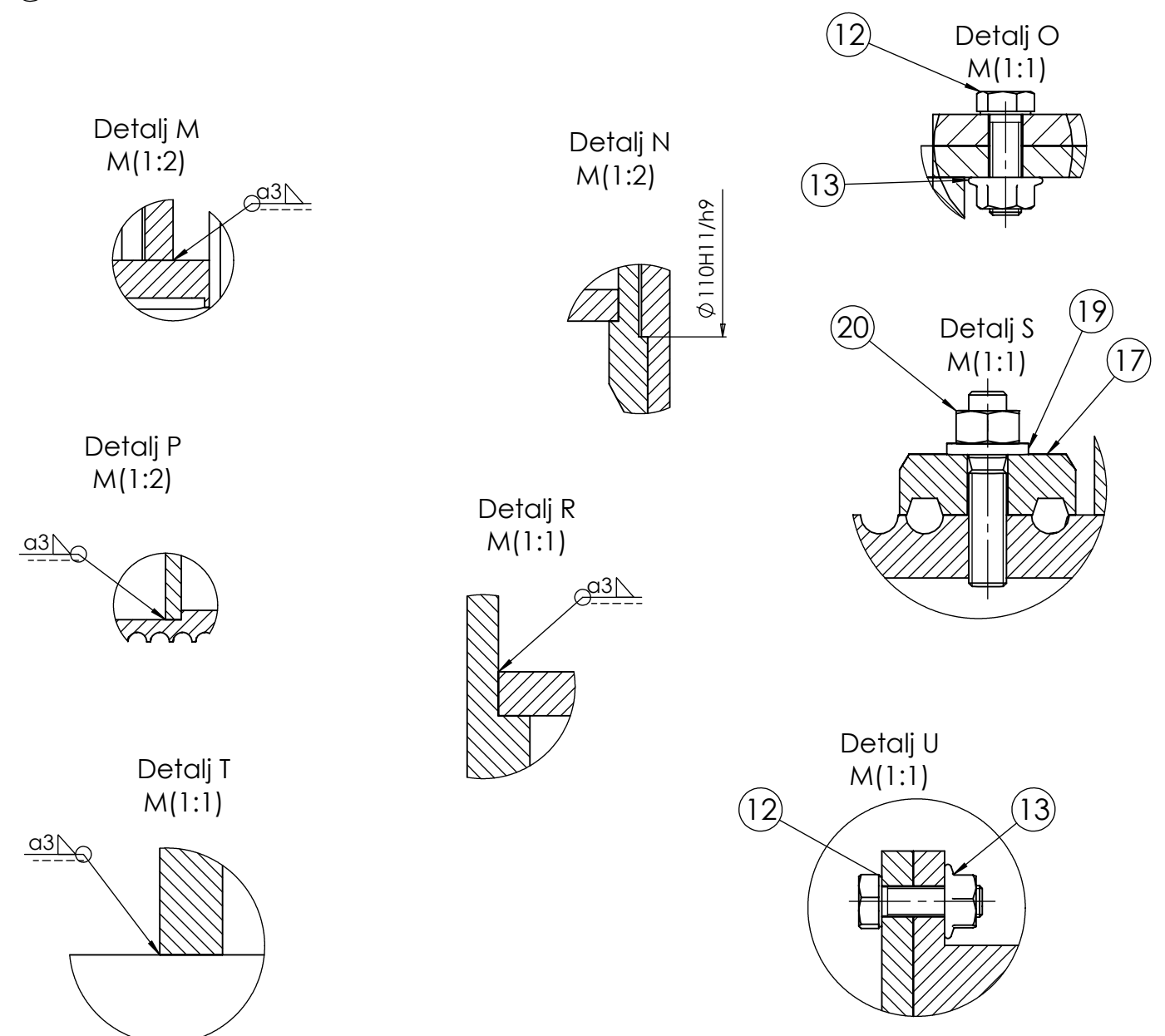
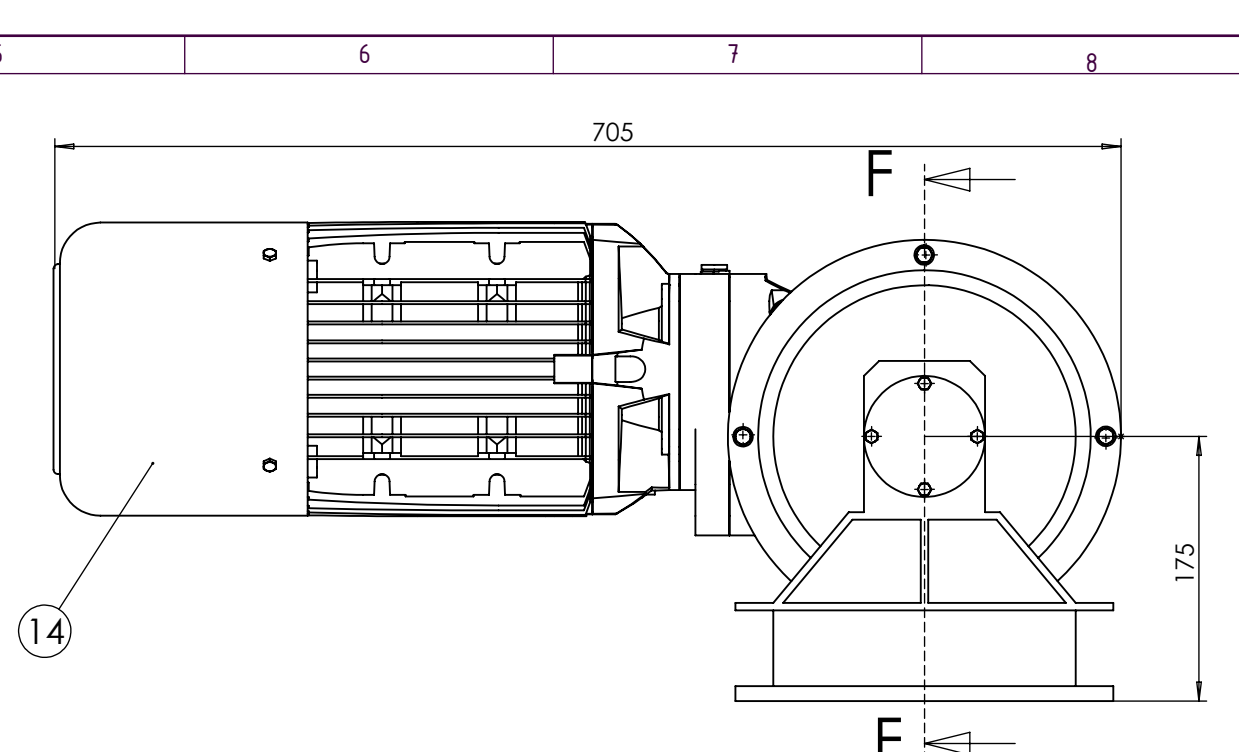
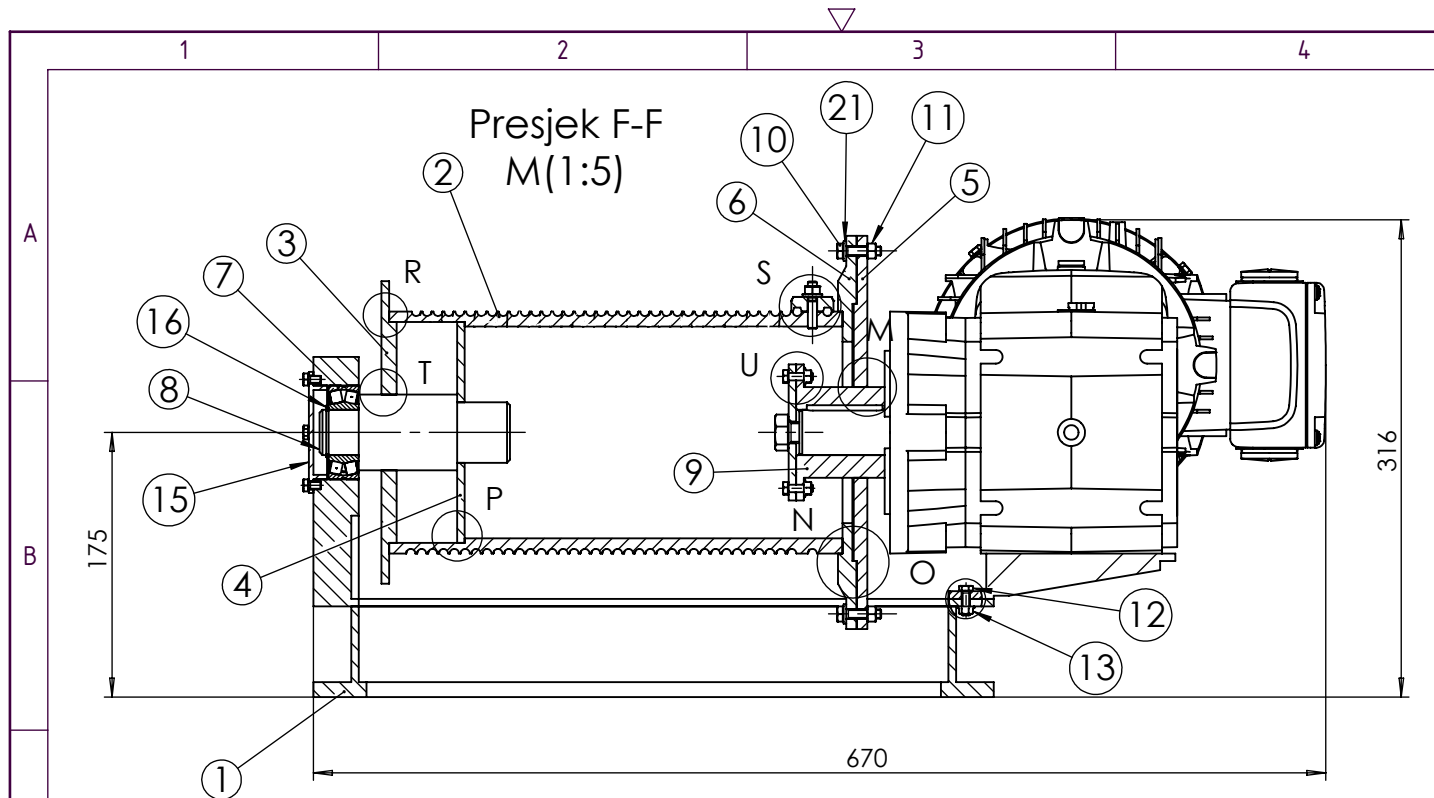
LITERATURA

- [1] Kraut, B.: Strojarski priručnik, Tehnička knjiga Zagreb, 1970.
- [2] Decker, K. H.: Elementi strojeva, Tehnička knjiga Zagreb, 1975.
- [3] Herold, Z.: Računalna i inženjerska grafika, Zagreb, 2003.
- [4] Opalić, M. i Rakamarić, P.: Reduktor (Proračun)
- [5] Horvat, Z.: Vratilo (Proračun)
- [6] Ščap, D.: Prenosila i dizala
- [7] SKF katalog
- [8] Kranjčević, N.: Vijci i navojna vretena
- [9] Vučković, K.: Vratila (podloge uz predavanja)
- [10] <https://bs.wikipedia.org/wiki/%C4%8Celik>

PRILOZI

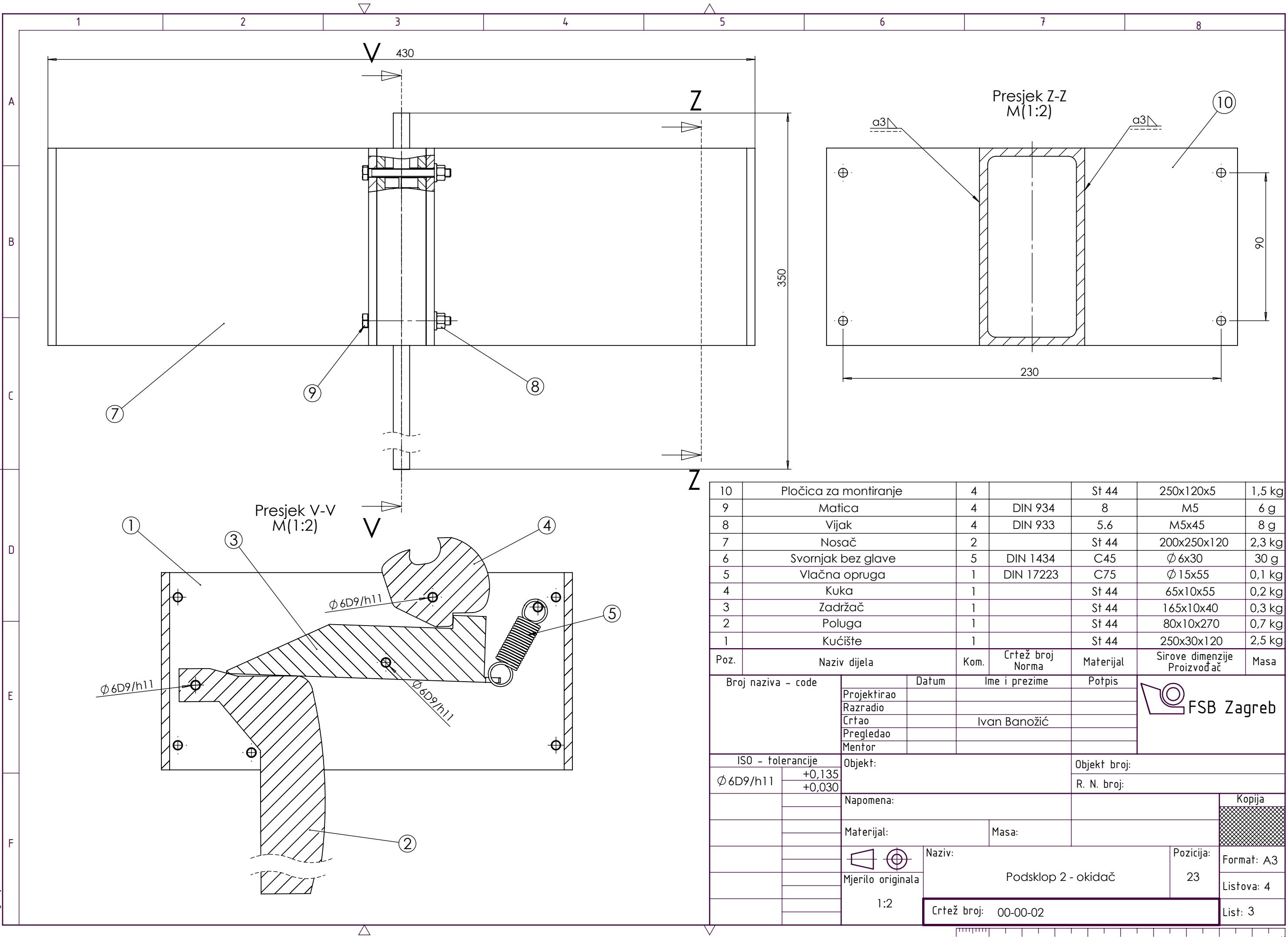
- I. CD-R disc
- II. Tehnička dokumentacija

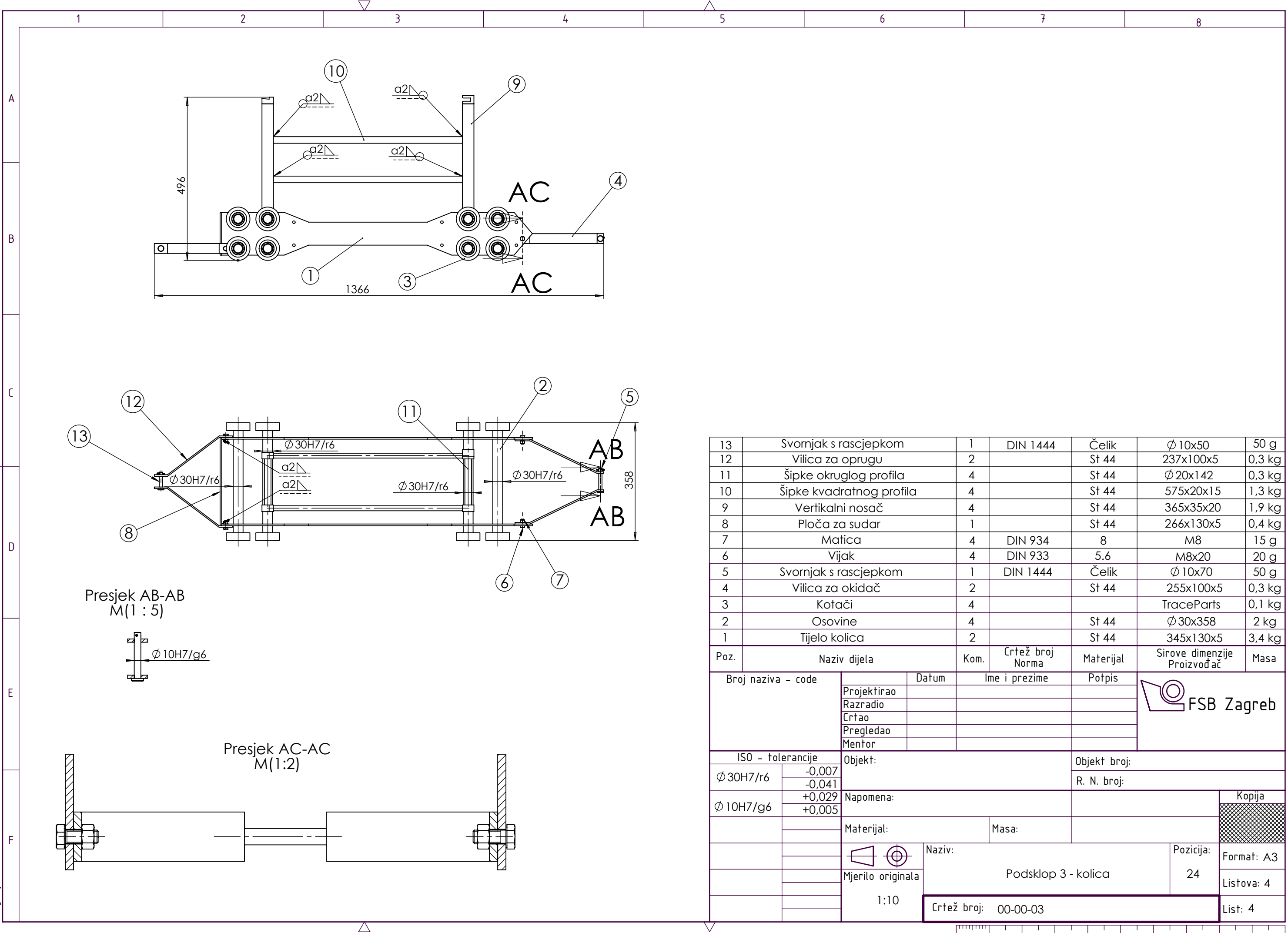




21	Podložna pločica	4	DIN 125-1A	Čelik	M6	8 g
20	Matica	1	DIN 934	8	M6	50 g
19	Podložna pločica	1	DIN 125-1A	Čelik	M6	8 g
18	Vijak	1	DIN 938	Čelik	M6x30	65 g
17	Veza užeta s bubnjem	2		St 44	28x15x10	30 g
16	Uskočnik	1	DIN 471	C55E	Ø 30 / Ø 26,5 x 1,5	3 g
15	Pločica za ležaj	1		St 44	Ø 80 x 12	0,2 kg
14	Elektromotor	1				
13	Matica	6	DIN 934	8	M5	40 g
12	Vijak	6	DIN 933	5,6	M5x16	45 g
11	Matica	4	DIN 934	8	M6	50 g
10	Vijak	4	DIN 933	5,6	M6x25	64 g
9	Čahura	1		St 44	Ø 90 / Ø 30 x 62	1,1 kg
8	Osovina	1		St 44	Ø 50 x 126	1,5 kg
7	Ležaj	1	22206 E		Ø 62 / Ø 30 x 20	0,9 kg
6	Spojna ploča	1		St 44	Ø 260 / Ø 60 x 7	3 kg
5	Ploča na čahuri	1		St 44	Ø 260 / Ø 120 x 7	2,8 kg
4	Ploča u bubnju	1		St 44	Ø 146 / Ø 40 x 5	0,6 kg
3	Čelna ploča	1		St 44	Ø 200 / Ø 50 x 5	1,7 kg
2	Bubanj	1		St 44	Ø 160 / Ø 140 x 300	8 kg
1	Postolje	1		St 44	450 x 250 x 225	9 kg

UZL.	Naziv ujedta	Koli.	Norma	Materijal	Proizvodjač	Masa	
Broj naziva - code		Datum	Ime i prezime		Potpis		
		Projektirao					
		Razradio					
		Crtao	Ivan Banožić				
		Pregledao					
		Mentor					
ISO - tolerancije		Objekt:			Objekt broj:		
Ø 110H11/h9	+0,307						
	0				R. N. broj:		
		Napomena:			Kopija		
		Materijal:		Masa:			
			Naziv: Podsklop 1			Pozicija: 22	
		Mjerilo originala 1:5				Format: A3	
			Crtež broj: 00-00-01			List: 2	





1 2 3 4 5 6 7 8

A

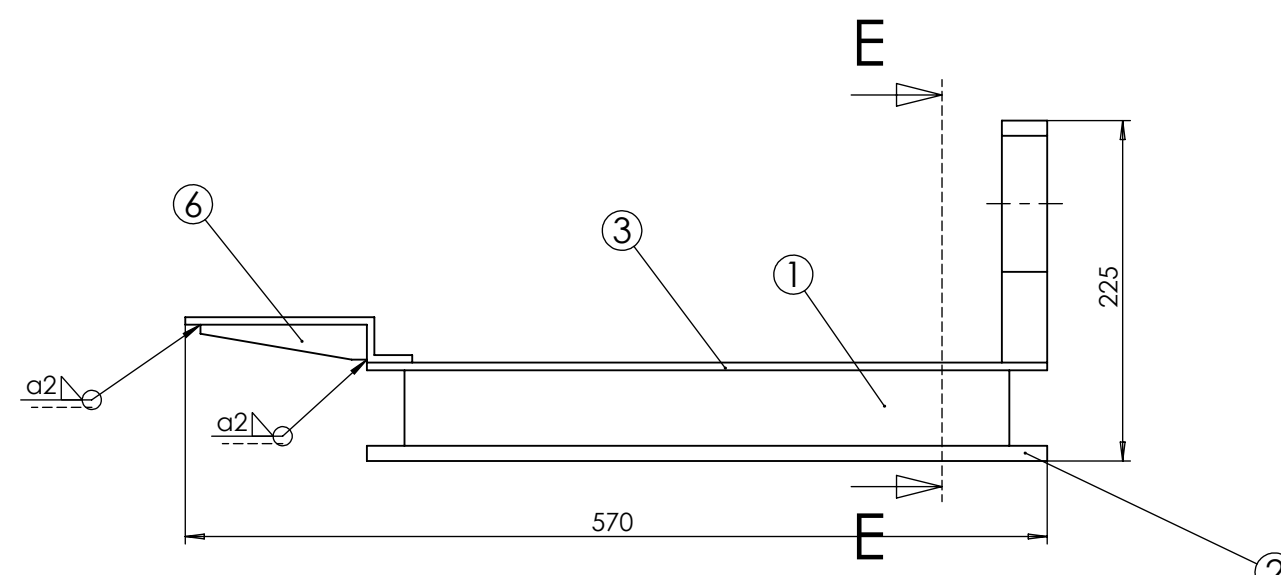
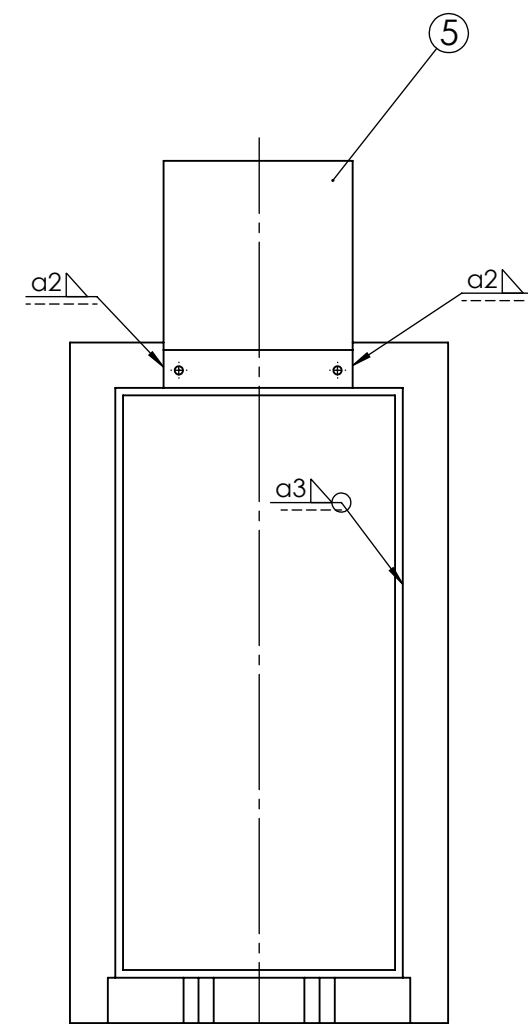
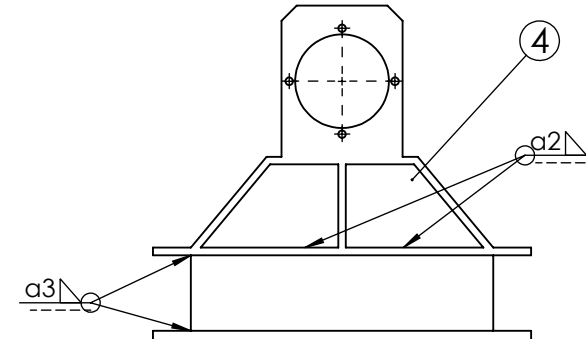
B

1

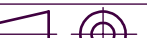
1

F

3



Presjek E-E

7						
6	Rebro ploče reduktora	3		St 52	110x23x5	
5	Ploča reduktora	1		St 52	150x125x30	
4	Nosač ležaja	1		St 52	200x30x150	
3	Gornja ploča nosača	1		St 52	450x250x5	
2	Donja ploča nosača	1		St 52	450x250x10	
1	Nosač	1		St 52	400x200x50	
Poz.	Naziv dijela	Kom.	Crtež broj Norma	Materijal	Sirove dimenzije Proizvođač	Masa
Broj naziva - code		Datum	Ime i prezime	Potpis	 FSB Zagreb	
	Projektirao					
	Razradio					
	Črtao		Ivan Banožić			
	Pregledao					
	Mentor					
ISO - tolerancije	Objekt:			Objekt broj:		
				R. N. broj:		
	Napomena:					Kopija
	Materijal:		Masa:			
		Naziv: Zavareno postolje		Pozicija: 26	Format: A3	
	Mjerilo originala 1:2				Listova: 1	
		Crtež broj: 00-00-02			List: 1	